

T.C
DOKUZ EYLÜL ÜNİVERSİRESİ
TIP FAKÜLTESİ DEKANLIĞI

**HEMODİYALİZ HASTALARINDA HEPATİT G VİRUS (HGV-GBV/C)
İNFEKSİYONUNUN cDNA POLİMERAZ ZİNCİR TEPKİMESİ İLE
GÖSTERİLMESİ ve HGV GENOTİPLERİNİN BELİRLENMESİ**

Dr. TUNCER TOKLU

**MİKROBİYOLOJİ VE KLİNİK MİKROBİYOLOJİ
ANABİLİM DALI UZMANLIK TEZİ**

**DANIŞMAN ÖĞRETİM ÜYESİ
DOÇ. DR. Y. HAKAN ABACIOĞLU**

90355

İZMİR

2000

**T.C. YÜKSEKÖĞRETİM KURULU
DOKÜMANTASYON MERKEZİ**

TEŞEKKÜR

Bu çalışmadaki katkıları ve eğitime verdikleri önem nedeniyle danışmanım, sayın Doç. Dr. Y. Hakan Abacıoğlu ve Anabilim Dalı Başkanımız sayın Prof. Dr. Nuran Yuluğ'a, yetişmemde emeği geçen tüm hocalarımı, çalışma ortamını zevkle paylaştığım arkadaşlarına, yardımcılarından dolayı İç Hastalıkları Anabilim Dalı Nefroloji Bilim Dalı Başkanı Prof. Dr. Taner Çamsarı ve diğer öğretim üyelerine, hemodiyaliz merkezi çalışanlarına ayrıca desteği ve anlayışı nedeniyle eşim Meltem Toklu' ya teşekkür ederim.

İÇİNDEKİLER

TABLO LİSTESİ	1
ŞEKİL LİSTESİ	2
RESİM LİSTESİ	3
1 ÖZET	4
2 SUMMARY	5
3 GİRİŞ ve AMAÇ	6
3.1 Giriş	6
3.2 Amaç	7
4 GENEL BİLGİLER	7
4.1 Tarihçe: Virusun keşfi	7
4.2 Hepatit G Virusunun özellikleri, yapısı ve genom organizasyonu	8
4.3 HGV Sınıflandırılması, replikasyonu ve genotipler	11
4.4 HGV İnfeksiyonlarının klinik özellikler	13
4.4.1 Akut hepatitler	14
4.4.2 Kronik hepatit, siroz ve hepatosellüler karsinom	16
4.5 HGV İnfeksiyonu tanısı ve genotiplendirilmesi	18
4.5.1 Tamı	18
4.6 Epidemiyoloji	19
4.6.1 HGV infeksiyonu için riskli gruplar	19
4.7 Sağaltım	21
4.8 Hemodializ hastaları ve viral hepatitler	23
5 GEREÇ ve YÖNTEM	24
5.1 Gereç	24
5.1.1 Çalışma grubu	24
5.1.2 Hemodializ ünitesi çalışanları	24
5.1.3 Kontrol grubu	24
5.1.4 Serum örnekleri	24
5.2 Yöntem	24
5.2.1 HGV-RNA'ının cDNA RT-PCR ile gösterilmesi	25
5.2.2 HGV genotiplendirilmesi	31
6 BULGULAR	35
6.1 Çalışma grubunun demografik özellikleri	35
6.2 Kontrol grubunun demografik özellikleri	35
6.3 Çalışma ve kontrol gruplarında viral hepatit etkenleri	35
6.4 HGV-RNA bulguları	35
6.5 Nükleotid dizi analizi bulguları	36
7 TARTIŞMA	43
8 SONUÇ ve ÖNERİLER	46
9 KAYNAKLAR	47

KISALTMALAR

- AMV** : Avian myeloblastosis virus
- CHO** : Chinese hamster ovary
- DMSO** : Dimetilsülfoksid
- DEPC** : Dietilpirocarbonate
- E** : Envelope (zarf)
- EIA** : Enzyme immuno assay
- GSCN** : Guanidium thiocyanate
- HGV** : Hepatit G virus
- HSK** : Hepatosellüler karsinom
- IRES** : Internal ribosome entry site
- NCR** : Non coding region (kodlamayan bölge)
- NS** : Nonstructural (yapısal olmayan)
- ORF** : Open reading frame (açık okuma çerçevesi)
- RFLP** : Restriction fragment length polymorphism
- RT-PCR** : Revers transcriptase- polymerase chain reaction
(ters transkriptaz- polimeraz zincir tepkimesi)
- SIA** : Strip immuno assay
- Taq** : *Thermus aquaticus*
- Tth** : *Thermus thermophilus*

TABLO LİSTESİ

Tablo 1: HGV proteinleri, ORF içerisindeki koordinatları ve olası işlevleri	10
Tablo 2: Akut hepatit olgularında HGV prevalansı	15
Tablo 3: Akut viral hepatitlerde karşılaştırmalı klinik ve biyokimyasal veriler	16
Tablo 4: Kronik hepatit, siroz ve hepatosellüler karsinomada (HSK) HGV-RNA prevalansı	17
Tablo 5: Farklı risk gruplarında HGV-RNA prevalansı	22
Tablo 6: Hemodiyaliz hastalarında hepatit viruslarının görülme sıklığı	23
Tablo 7: PCR da kullanılan primerler	31
Tablo 8: Elektroforez koşulları	34
Tablo 9: Çalışma grubunun özellikleri	38
Tablo 10: HGV olumlu hastaların özellikleri	39
Tablo 11: Hemodiyaliz hastalarının genel özellikleri	39
Tablo 12: HGV 5'-NCR dizilerinin filogenetik uzaklıkları (distance)	43

ŞEKİL LİSTESİ

Şekil 1: <i>Filaviridae</i> ailesi içerisinde HGV' nin yeri	8
Şekil 2: HGV ve diğer <i>Flaviviridae</i> ailesi üyelerinin genomik organizasyonu	11
Şekil 3: Bir akut posttransfüzyonal hepatitis olgusunun klinik seyri	15
Şekil 4: İzolatların hizalanmış nükleotid dizileri	40
Şekil 5: HGV 5'-NCR dizilerinin filogenetik analizi	41
Şekil 6: 1997 ve 2000 yılında tanımlanan izolatlarla oluşturulmuş ağaçlar	42
Şekil 7: İnsersiyon alanı	46

—
—

RESİM LİSTESİ

Resim 1: PCR bant görüntümeli

37



1 ÖZET

Hemodiyaliz Hastalarında Hepatit G Virus (HGV-GBV/C) İnfeksiyonunun cDNA Polimeraz Zincir Tepkimesi ile Gösterilmesi ve HGV Genotiplerinin Belirlenmesi

Anahtar Sözcükler: GBV/C-HGV, HGV-RNA, Filogenetik analiz, Genotip, Hemodiyaliz.

HGV, 1995 yılında moleküler klonlama ile tanımlanmış, *Flaviviridae* ailesi içerisinde yer alan bir RNA virusudur. Tüm dünyada yaygın olarak bulunan HGV, temel olarak parenteral yolla bulaşır. Virus nedeni bilinmeyen hepatit olguları, kan aktarımı yapılan hastalar, damar içi uyuşturucu kullananlar ve hemodiyaliz sağaltımı alan hastalarda yüksek sıklıkla saptanmaktadır.

Bu çalışmada, Dokuz Eylül Üniversitesi Tıp Fakültesi Hastanesi Hemodiyaliz Ünitesi'nde sağaltım alan 42 hasta, hemodiyaliz ünitesinde görevli 17 sağlık çalışanı ve dermatoloji polikliniğine başvurmuş 158 kontrol olgusunda, HGV-RNA varlığı ters transkriptaz-cDNA polimeraz zincir tepkimesi yöntemi ile araştırıldı. HGV izolatlarının 5'-kodlamayan bölgelerinin DNA dizileri Sanger'ın "dideoksinükleotid terminasyon yöntemi" ile belirlendi. Bunların, bilinen diziler ile karşılaştırmalı filogenetik analizleri yapılarak, genotipleri ve aralarındaki filogenetik ilişkiler tanımlandı.

Hemodiyaliz sağaltımı alan 42 hastanın besinde (%12), 17 sağlık çalışanının birinde (% 5,8) ve 158 kontrol olgusunun ikisinde (%1,2) HGV-RNA saptandı. Kontrol grubuna göre hemodiyaliz hastalarında HGV infeksiyonu anlamlı olarak yüksek olmasına karşın ($p<0,05$), HGV-RNA olumluluğu ile tanımlanan risk faktörleri arasında istatistiksel bir ilişki belirlenemedi.

Hemodiyaliz hastalarından ve hemodiyaliz hemşiresinden izole edilen genomik dizilerin genotip 2, kontrol grubundan izole edilen bir HGV izolatının ise genotip 4 HGV türlerine ait olduğu saptandı. Hemodiyaliz biriminden üç izolatın ayrı bir küme oluşturduğu belirlendi. Bu izolatlarda, daha önceden belirlenenlerden farklı olarak, -180 ve -177 nükleotid pozisyonları arasında dört nükleotidlik benzer bir insersiyon varlığı saptandı. Bütün bu veriler, söz konusu üç hastada HGV' nin ortak bir kaynaktan köken almış olabileceği ve HGV' ye bağlı nozokomiyal infeksiyonların olası olduğunu düşündürmektedir.

2 SUMMARY

Determining the HGV Infection in hemodialysis patients with cDNA polymerase chain reaction and evaluating the HGV genotype

Key words: GBV-C/HGV, HGV-RNA, Phylogenetic analysis, Genotype, Hemodialysis.

HGV is an RNA virus within the *Flaviviridae* family whose presence was determined by molecular cloning techniques in 1995. The virus is common throughout the world and its mainly transmitted by parenteral routes. HGV infections are more frequent in unknown hepatitis cases, blood transfusion recipients, IV drug abusers and in hemodialysis patients.

In this study, the presence of HGV-RNA was sought out in 42 hemodialysis patients, 17 dialysis unit personnel and in 158 dermatological patients as a control group by reverse transcriptase-cDNA PCR. The 5'-NCR sequences of the HGV isolates were determined by Sanger's dideoxynucleotide chain termination method. Phylogenetic analysis of these sequences along with the known HGV 5'-NCR sequences has been utilized to determine the genotypes and phylogenetic relationships.

Five of the 42 dialysis patients (%12), one of the 17 personnel (% 5,8) and two of the 158 dermatological patients (%1,2) have been shown to harbor HGV sequences. Eventhough the rate of HGV infection in hemodialysis patients is significantly higher than the control group ($p<0,05$), no known risk factors could be ascribed to HGV-RNA positivity in these patients. All isolates from the hemodialysis unit were related to HGV sequences, whereas a HGV group 4 sequence was determined in one the positive patients in the latter group. Three of the five HGV sequences isolated from hemodialysis patients clustered closely together, with bootstrap support for all three sequences, indicating a common source of infection. Besides, these sequences contained a similar insertion of 4 nucleotides between position -180 and -177. These data suggest that the viral sequences in these patients may have a common origin and nosocomial transmission of HGV infection in a hemodialysis setting is possible.

3 GİRİŞ ve AMAÇ

3.1 Giriş

Hepatit, karaciğer hücrelerinin inflamasyonudur. Viral, toksik, farmakolojik nedenlerle gelişebilir ve hepatositlerin yıkımı ya da değişik düzeylerde zedelenmesi ile sonuçlanır. Viral hepatitlerin büyük bir kısmı, hepatotropizm gösteren, moleküler yapıları ve klinik özellikleri büyük oranda tanımlanmış, A dan E ye kadar harflerle anılan majör hepatit virusları ile oluşur. Hepatit A virus (HAV) ve Hepatit E virus (HEV) fekal-oral olarak bulaşırlar, akut hepatite yol açarlar ve kronikleşmezler. Hepatit B virus (HBV) ve Hepatit C virus (HCV) temel olarak parenteral yolla bulaşır ve yüksek kronikleşme oranı sergilerler. Hepatit D virusu (HDV) ise başlangıçta "delta ajanı" olarak adlandırılan ve viral replikasyon için HBV yüzey antijenine ihtiyaç duyan, defektif bir RNA virusudur. Majör hepatotropik virusları saptamaya yönelik oldukça duyarlı testler geliştirilmesine karşın, toplum kökenli hepatitlerin %20' sinin ve parenteral yolla bulaşan hepatitlerin ise %10' unun etyolojisi bilinmemektedir (1). Hepatit G virusu (HGV) nedeni bilinmeyen hepatitlerin (neA-neE hepatitler) etyolojisinde rol alması olası ajanlardan biridir (1-9).

HGV 1995 yılında iki farklı araştırma grubu tarafından eş zamanlı olarak tanımlanmıştır. Simons ve ark., (2) GB virus C (GBV-C), Linnen ve ark., (3) ise hepatit G virus (HGV) olarak adlandırdıkları transfüzyon yoluyla bulaşan iki virus tanımlamışlardır. Bu iki virusun daha sonra aynı türün farklı izolatları olduğu ortaya konulmuştur (7-9). HGV *Flaviviridae* ailesi içerisinde yer alan, pozitif yönelimli (polariteli), tek zincirli bir RNA virusudur, sırası ile GB virus A (GBV-A), GB virus B (GBV-B) ve HCV' ye benzerlik gösterir (1-9). HGV' nin klinik önemi, 1995 yılında keşfinden bu yana yapılmış olan pek çok araştırmaya karşın çok iyi bilinmemektedir.

Günümüzde aktif HGV infeksiyonlarının belirlenmesinde kullanılan tek yöntem virus genomunun "ters transkripsiyon-polimeraz zincir tepkimesi" (RT-PCR) ile gösterilmesidir. HGV zarf glikoproteinine karşı olmuş antikorlar (anti-E2) enzim immuno assay (EIA) ya da diğer serolojik yöntemlerle saptanılmasına karşın bu antikorlar aktif infeksiyonu değil geçirilmiş infeksiyonu gösterir (4). HGV抗jenlerini saptayabilen bir test ise henüz geliştirilememiştir.

HGV temel olarak parenteral yolla bulaşır, bu nedenle hemodiyaliz hastaları, kan ve kan ürünleri ile sağaltım alan hastalar, damar içi uyuşturucu kullanicıları HGV bulaşı açısından yüksek risk taşımaktadırlar (7-9).

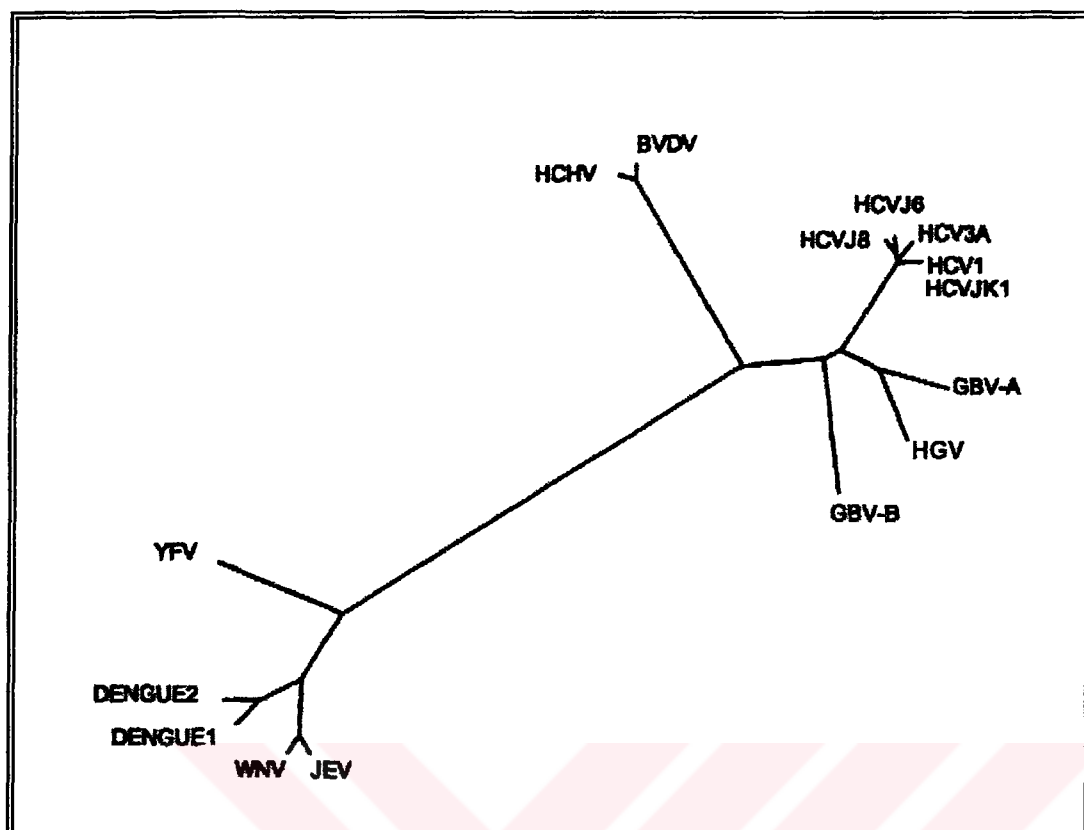
3.2 Amaç

Çalışmamızın amacı, risk grupları içerisinde yer alan hemodiyaliz hastalarında, HGV infeksiyonlarının RT-PCR yöntemi ile saptanması, HGV izolatlarının genotiplerinin ve filogenetik ilişkilerinin belirlenmesidir.

4 GENEL BİLGİLER

4.1 Tarihçe: Virusun keşfi

Deinhart ve ark., 1967 yılında akut hepatitli bir cerrahtan aldığı serumu, tamarinlere (*Sanguinus spp.*) inoküle etmişler ve deneklerde hepatit gelişliğini göstermişlerdir (3,6-9). Yaklaşık 28 yıl boyunca, farklı araştırmacılar tarafından tamarin pasajları ve bu sırada yapılan deneyler sonucu, tamarinlerdeki hepatite bir virusun neden olabileceği düşünülmüştür (7-10). Simons ve ark., (6) 1995 yılında moleküler klonlama teknikleri ile tamarin serumlarından iki farklı RNA genomu elde etmişler ve cerrahın isminin baş harflerini kullanarak GBV-A ve GBV-B diye adlandırmışlardır. Ancak cerrahtan alınan serum örneği de dahil olmak üzere, insan serumlarında bu iki virusa rastlamamışlardır. Pramat kökenli olduğu saptanan bu iki virusun, insanlarda infeksiyonlara neden olmadığı, Flaviviruslara özellikle de HCV' ye benzerlik gösterdiği belirlenmiştir (6,7,10). Aynı çalışma grubu, HCV, GBV-A, GBV-B varsayımsal (putatif) helikaz bölgelerindeki ortak nükleotidleri hedefleyen dejenera primerler ile Batı Afrikalı hastalardan alınan örneklerde, bu viruslardan farklı bir virus tanımlamışlardır. Ne-A, ne-E hepatitlerden sorumlu olabileceği düşünülen bu ajan, GB virus C (GBV-C) olarak adlandırılmış ve tam genom dizisi elde edilmiştir (GenBank no:PNF2161) (2). Linnen ve ark., (3) 1996 yılında biri ALT yükselmesi gösteren fakat hepatit bulguları olmayan, diğer posttransfüzyonal kronik hepatitli iki hastadan aldığı serum örneklerinde "Immunoscrening tekniği" ile Flaviviruslara benzerlik gösteren bir RNA virusu tanımlamışlar ve bunu Hepatit G Virüsü (HGV) olarak adlandırmışlardır. HGV ile GBV-C arasında nükleotid ve aminoasit benzerlikleri (sırası ile %86 ve %96), iki virusun aynı türün farklı izolatları olduğunu göstermiştir (3). Bu nedenle, virus GBV-C/HGV olarak da tanımlanmaktadır. Bu yazıda, kolaylık açısından HGV tanımı kullanılmıştır.



Şekil 1: *Filaviviridae* ailesi içerisinde HGV nin yeri

4.2 Hepatit G Virusunun Özellikleri, Yapısı ve Genom Organizasyonu

HGV yaklaşık 50 nm çapında, zarflı, tek iplikli, pozitif yönelimli (polariteli) bir RNA virusu olup *Flaviridae* ailesi üyesidir. Virus, genomik organizasyonu ve amino asit dizilimi yönünden özellikle GBV-A ile, daha az oranda da GBV-B ve HCV ile benzerlik gösterir (2-3,7-9,11). Bu virusların *Hepacivirus* genusu içinde sınıflandırılması önerilmektedir (Şekil 1). Henüz genomik lokalizasyonu tam olarak tanımlanamamış olan viral nükleokapsidi lipid bir zarf çevreler (12). Viral zarf yapısında envelope 1 (E1) ve envelope 2 (E2) olmak üzere iki ayrı glikoprotein yer almaktadır (4,13).

HGV genomu, yaklaşık 9400 nükleotid uzunluğunda, tek iplikli bir RNA molekülünden oluşmuştur (2-3). Genom, 2900 amino asitlik poliprotein öncülünü kodlayan, büyük ve tek açık okuma çerçevesi ("Open Reading Frame", ORF) içerir (2,3,11) (Şekil 2). Genomun her iki ucunda protein kodlamayan gen bölgeleri (NCR : noncoding region) bulunur ve viral yapı, genomik organizasyon ve nükleotid dizilişi ile diğer flaviviruslara benzerlik gösterir (2,3). HGV ve GBV-A'ının 5'-protein kodlamayan bölgeleri HCV'ye göre daha uzun ve değişkendir. HCV'ye benzer biçimde bir "internal ribosome entry site" (IRES) içerir (14). IRES, kep yapısından bağımsız olarak protein translasyonunu başlatmaktan sorumludur (14,15) (Şekil 2). Yapısal proteinleri kodlayan genler genomun 5' ucuna, yapısal olmayan proteinleri kodlayanlar (nonstructural : NS) ise 3' ucuna yakın bir yerleşim gösterir ve 5' ucundan 3' ucuna doğru sırası ile E1, E2, NS2, NS3, NS4A, NS4B, NS5A ve NS5B bölgelerini içerir (14) (Şekil 2-Tablo 1).

HGV henüz elektron mikroskopu ile gösterilememiş ve virusun hücre kültür sistemlerinde uzun süreli replikasyonu sağlanamamıştır. Bu nedenle, günümüzde HGV viral yapısının dolaylı yollarla tanımlanması olasıdır. HGV HCV'ye benzer biçimde, infekte bireylerin kanlarında düşük ve yüksek (sırasıyla 1.07 ve 1.17 g/ml) olmak üzere iki farklı dansiteye sahip partiküller biçiminde bulunabilmektedir (12). Düşük dansiteli HCV partiküllerinin infektivite ile ilişkili olduğu düşünülmektedir. Ancak, HGV açısından düşük ve yüksek dansiteli partiküller ile patogenez arasındaki ilişki bilinmemektedir (16). HGV ve HCV'de kloroform ekstraksiyonu sonrası görülen dansite artışı lipid zarfin parçalanması ile ilişkili olup, infektivite kaybına yol açabilmektedir (12).

HGV proteinlerinin biyolojik fonksiyonları tam olarak aydınlatılamamıştır. Bilinen proteinleri ise HCV ile benzerlik gösterir. Virus genomunda iki varsayımsal zarf proteini (E1, E2), metalloproteaz (NS2), serin proteaz, helikaz, NTPaz (NS3) ve RNA-bağımlı RNA polimeraz (NS5B) kodlayan bölgeler tanımlanmıştır (14-18) (Tablo 1).

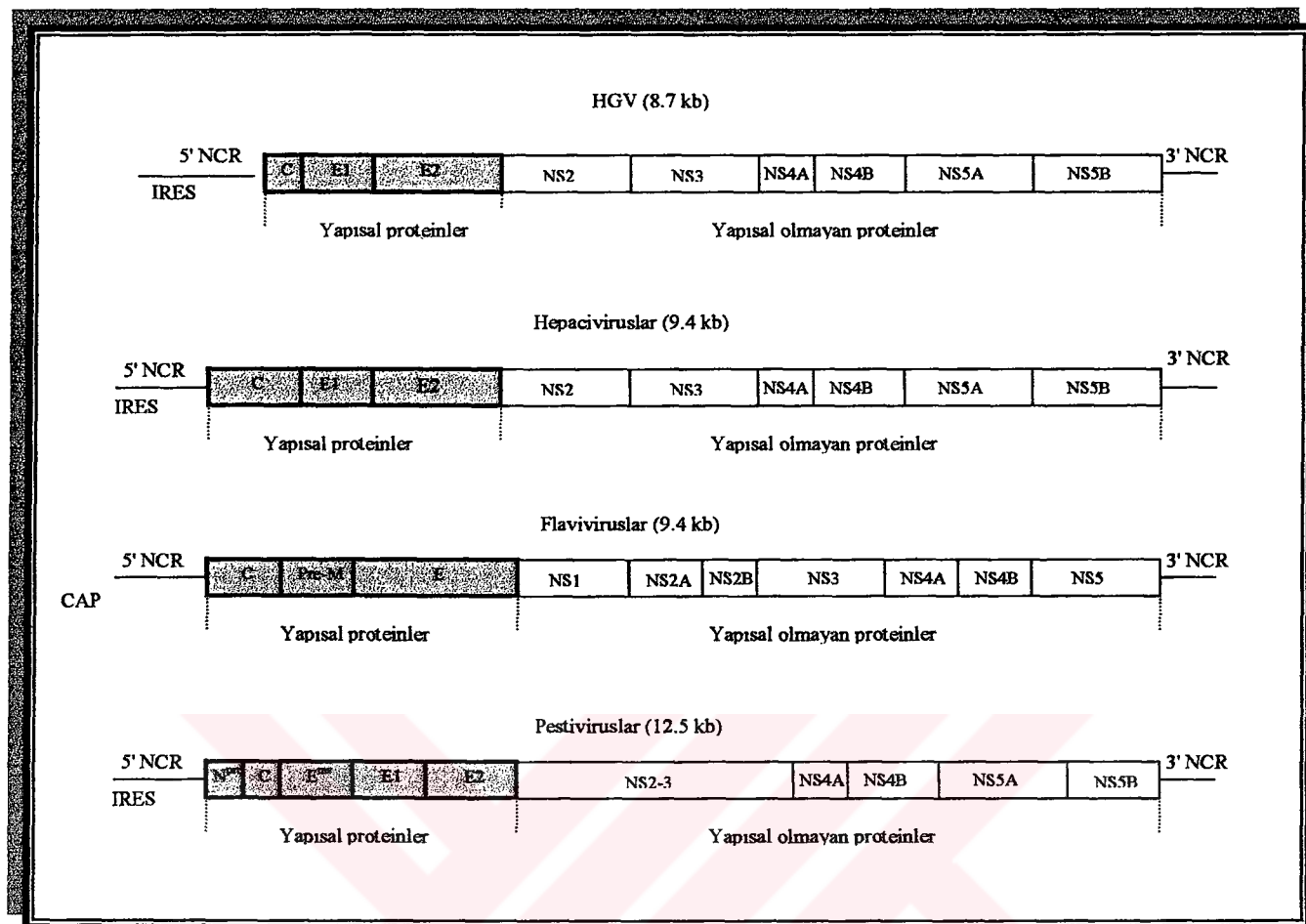
E2 bölgesi viryon yüzeyi ile ilişkili bir glikoproteini kodlamaktadır. E2 yüzey glikoproteinine karşı oluşan antikorlar (anti E2 IgG) farklı yöntemlerle saptanabilmektedir ve daha çok geçirilmiş infeksiyonu tanımlar (4,13).

NS2 tarafından kodlanan metalloproteaz, poliproteinden NS2-NS3 bölgesinin kesilmesini düzenler. NS3' den kodlanan serin proteaz ise NS3-NS4A, NS4A-NS4B, NS4B-NS5A ve NS5A-NS5B bölgelerinin ayrıstırılmasından sorumludur. NS4A bölgesi, serin proteaz enziminin aktivitesi için kofaktör görevi görmektedir. Sonuç olarak, serin proteaz, metalloproteaz ve henüz tam olarak tanımlanmamış olan NS4A proteini, posttranslasyonel proteolitik aktiviteden sorumludur ve poliprotein öncülünden olgun proteinlerin ayrıstırılmasını sağlar (12,17,19).

HGV poliproteininin amino terminal ucu HCV' ye göre daha kısadır ve kor bölgesini kodladığı varsayılan bu bölge izolatlar arasında değişkenlik gösterir. HGV kapsid proteininin, izolatlar arasında 19 ile 91 amino asit uzunluğunda değişen bu bölge tarafından kodlanıp kodlanmadığı tam olarak bilinmemektedir (2,3). Bu konuda bir başka görüş de, NS5A içindeki binişimli (overlapping) bir gen bölgesinin kapsid sentezinden sorumlu olabileceğini düşündürmektedir (19). Diğer yandan, Linnen ve ark. (3) antigenomik iplik üzerinde bulunan ORF' nin infeksiyon sırasında eksprese olabileceği öne sürmüşlerdir.

Tablo 1: HGV proteinleri, ORF içerisindeki koordinatları ve olası işlevleri

Genomik bölge	Nükleotid pozisyonları	Kodon sayısı	İşlevi
C?	?	?	Kapsid
E1	1-615	205	Zarf glikoproteini
E2	616-1926	437	Zarf glikoproteini
NS2	1927-2682	252	Metalloproteaz
NS3	2683-4650	656	Serin proteaz / helikaz/NTPaz
NS4A	4651-5283	211	Serin proteaz kofaktörü
NS4B	5284-5595	104	Bilinmiyor
NS5A	5596-6840	415	Bilinmiyor
NS5B	681-8496	552	RNA-bağımlı RNA polimeraz



Şekil 1: HGV ve diğer *Flaviviridae* ailesi üyelerinin genomik organizasyonu.

4.3 HGV Sınıflandırılması, replikasyonu ve genotipler

HGV genomik organizasyon ve nükleotid dizi benzerlikleri nedeniyle GBV-A ve GBV-B ile birlikte geçici olarak *Hepacivirus* genusu içerisinde sınıflandırılmaktadır. Bu genus içerisinde kendisine en yakın tür olan GBV-A ile %48, HCV ile ise %29 amino asit homolojisi gösterir (2). Günümüzde HGV sınıflandırılmasında ve guruplarının belirlenmesinde nükleotid dizilerinin karşılaştırılması ve filogenetik analizi kullanılmaktadır. Genotiplerin belirlenmesinde en güvenilir sonuçlar, karşılaştırmanın genomik dizinin tümü ile yapılması ile elde edilmektedir (20). Buna karşın, tam genom dizilerinin belirlenmesindeki güçlükler nedeni ile farklı subgenomik bölgelerden elde edilen dizilerle de HGV filogenetik analizi gerçekleştirilebilmektedir (20,23).

HGV düşük dereceli amino asit dizi varyasyonları göstermesi ve bu varyasyonların klinik öneminin tam olarak tanımlanamamış olması nedeni ile tip ve subtipen daha çok grup ve subgrup olarak sınıflandırılmaktadır (20). HGV 5'-NCR mutasyon oranı $1,3\text{--}2,4 \times 10^{-3}$ sub/nt/yıl olarak hesaplanmıştır (22). Yakın zamanda tanımlanmış ve tam genom dizisi elde edilmiş 33 HGV izolatı ile gerçekleştirilen analizler sonucu, filogenetik olarak dört ana grubun varlığı gösterilmektedir (20). E2 bölgesini içeren daha çok sayıda izolatla yapılan analizlerde ise 5 filogenetik grup belirlenmiştir (grup1-5). Smith ve ark., (20) subgenomik karşılaştırmalar için en uygun bölgenin E2 bölgesi içerisinde, 200-600 nükleotid uzunluğunda bir alan olduğu belirtilmiştir.

HGV filogenetik gruplarının coğrafi dağılımı, tarih öncesi insanların Afrika' dan diğer kıtalara göç yolları ile koşutluklar göstermekte ve virusun infekte ettiği konaklar ile birlikte evrimleştiği sanılmaktadır (20,24,25). Grup 1 ve 5 Afrika kökenlidir. Diğer gruplar üç ana insan göçü ile ilişkili gözükmemektedir. Grup 2 Avrupa, grup 3 Kuzey Asya ve grup 4 ise Güney Asya ülkelerindeki infeksiyonlardan izole edilmektedir (20-31). ABD' de grup 2 baskın olmasına karşın, Kuzey ve Güney Amerika yerlilerinde Asya kökenli grup 3' e diğer gruptan daha sık rastlanmaktadır (20,25-27).

Nükleotid dizi analizi dışında filogenetik grupların belirlenmesi amacıyla, epidemiyolojik çalışmalarında uygulama kolaylığı sağlayan "restriction fragment length polymorphism" (RFLP) yöntemi kullanılmıştır. RFLP sonuçlarının dizi analizlerinde elde edilen gruplar ile (grup 1-3) % 97.3 uyumlu sonuç verdiği bildirilmiştir (32).

HGV filogenetik grupları ile klinik tablo, прогноз, sağaltıma direnç ya da tanı arasında herhangi bir ilişki gösterilememiştir. Ancak, farklı HGV türümü ya da varyantlarının, farklı klinik özellikler gösterebileceğini ya da bu varyantların doku tropizmiyle ilişkili olabileceğini düşündüren veriler bulunmaktadır (33). Heringlake ve ark., (34) on bir ne-A,ne-E fulminan hepatit olgusunun serumlarından elde ettikleri HGV izolatlarının tümünde, aynı genomik pozisyonda mutasyonlar tanımlanmışlar ve fulminan seyir ile ilişkili olabileceğini bildirmiştir. Mononükleer hücreleri infekte edebilen HGV varyantlarının 5' protein kodlamayan bölgelerinin ortak predominant bir dizi içermesi, lenfotropizm veya hepatotropizm gösteren varyantların bulunabileceğini, belki de farklı klinik tablolardan sorumlu olabileceğini düşündürmektedir (33,35).

HGV replikasyonu, özellikle *Hepacivirus* ve *Pestivirus*' lere benzemektedir . Bu genusların replikatif döngüsü, 1- adsorbsiyon 2- reseptör aracılı endositoz 3- füzyon 4- kapsid soyulması 5- IRES aracılı translasyon 6- poliprotein sentezi 7- hücresel ve viral proteazlarla proteolitik parçalama 8- membran ilişkili antigenomik (-) ve progeni RNA (+) sentezi 9- nükleokapsidle birleşme (assembly) 10- endoplazmik retikulumdan virusun tomurcuklanması 11- golgi cisimciğine transport ve olgunlaşma 12- vezikül füzyonu ve olgun viral partikülün serbestleşmesi aşamalarından oluşmaktadır (15).

4.4 HGV infeksiyonlarının klinik özellikleri

HGV akut veya kronik hepatit olgularında kontrol gruplarına göre daha yüksek oranda saptanmaktadır (1,3,36) (Tablo 2-4). Fakat HGV' nin akut ya da kronik karaciğer hastalıkları ile ilişkisi belirgin değildir. HGV infeksiyonları genellikle asemptomatik seyreden. Transaminaz seviyeleri yükselmez ya da ılımlı yükselmeler gözlenir. Karaciğerde histopatolojik değişiklikler oluşturmaz (1). Bu nedenle HGV ile karaciğer hastalıkları arasındaki ilişkiyi tanımlayabilmek için yanıtlanması gereken ilk ve en önemli soru, virusun primer olarak karaciğerde replike olup olmadığıdır. HGV' nin özgül organ ya da doku tropizmi gösterip göstermediği konusunda çelişik veriler bulunmaktadır (37-39).

Flaviviridae ailesi negatif iplik (antigenomik iplik) aracılığı ile replikasyon gösterir (15,40). Bu nedenle negatif iplığın belirli bir doku ya da organda gösterilmesi özgül replikasyon alanının tanımlanmasında kullanılan bir yöntemdir. Diğer bir seçenek, invitro hücre kültür sistemlerinde replikasyonun moleküller ya da serolojik yöntemlerle gösterilmesidir (41,42). Fakat negatif iplığın özgül amplifikasyonu kendi içerisinde belirli zorluklar taşımaktadır. Yüksek ıslarda cDNA sentezi yapabilen, bu nedenle negatif ipliğe yüksek özgüllük gösteren Tth polimeraz ile HGV antigenomik ipliği araştırılmış, karaciğer, kemik iliği ve dalak gibi dokularda negatif ipliğe rastlanmıştır (39). HGV' nin mononükleer hücrelerde çoğalabildiği gösterilmiştir (41,43).

Viruslar, genel olarak primer replikasyon bölgelerinde serumdan daha yüksek konsantrasyonlarda bulunmalarına karşın, HGV karaciğerde, serum seviyelerinden yaklaşık 10-100 kat düşük miktarlarda saptanmıştır (39,44). Bütün bu veriler ışığında, karaciğerin HGV için primer replikasyon bölgesi olmadığı düşünülmektedir.

4.4.1 Akut hepatitler

HGV akut infeksiyonları genellikle asemptomatiktir, hepatik ya da ekstrahepatik bir bulgu saptanmaz ve olguların birçoğunda biyokimyasal ve histolojik değişiklikler gözlenmez (Tablo 3). ALT seviyeleri diğer viral hepatit olgularına oranla ılımlı seyreder (230 IU/ml altında). Fakat normal ya da daha yüksek (3000 IU/ml) ALT seviyeleri de bildirilmiştir (1,45-46). HGV-RNA'nın kaybolması anti-E2 antikorlarının saptanması ile eş zamanlıdır ve bu nedenle anti-E2 antikorlarının viral klirens ile ilişkili olduğu düşünülmektedir (4,13,47) (Şekil 3). Transfüzyon sonrası 2-11 hafta içerisinde HGV-RNA serumda saptanır seviyelere gelmektedir (1,48). HGV viral yükü ile klinik bulgular arasında bir ilişki gösterilememiştir (1). Olguların % 0-75'inde uzamış viremi gözlenir ve HGV'nin 16 yıldan fazla persistan kalabildiği bildirilmiştir (5).

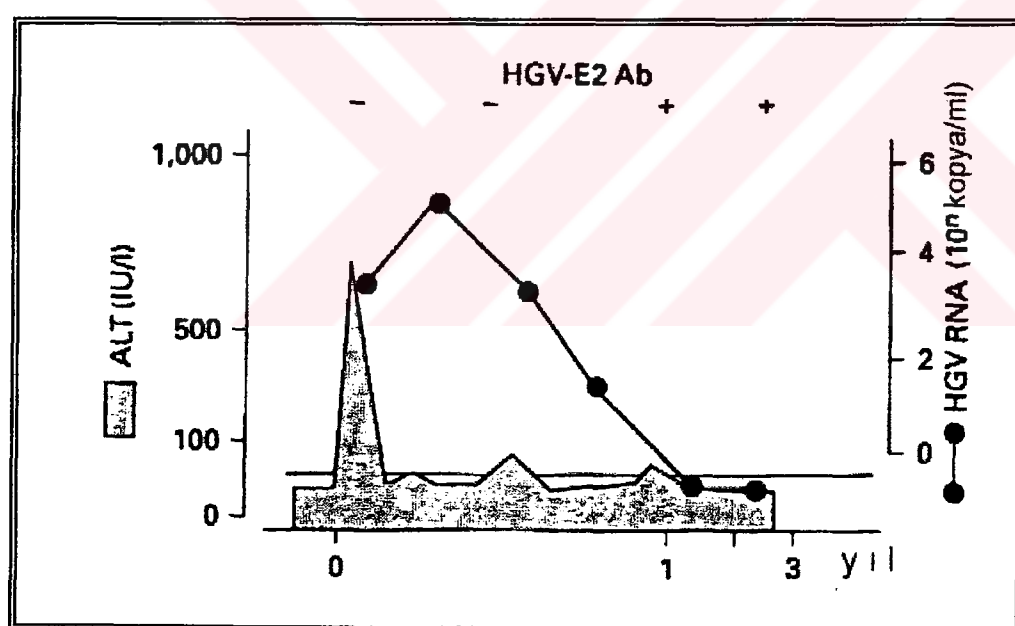
Ne-A ne-E posttransfüzyonal akut hepatit olgularının % 9-40'ında, sporadik olguların ise %0-9'unda HGV-RNA saptanmaktadır (1,3,49-52). Ortak bulaş yolları nedeniyle HCV ve HBV ile koinfeksiyonu sık görülmektedir, fakat HGV hepatit C infeksiyonlarının klinik ve biyokimyasal özellikleri üzerine etkili değildir (37).

HGV ile fulminan hepatitler arasında, olgu sayıları az olmasına karşın anlamlı bir ilişki olabileceğini düşündüren veriler bulunmaktadır (34,53). Buna karşın bu ilişkinin kontamine kan ve kan ürünleri ile sağaltım sonucu oluşabileceği de düşünülmektedir (54). Heringlake ve ark., (34) fulminan seyirli HGV olgularının tümünde NS3 bölgesinde saptadıkları 100. ve 102. nükleotidlerdeki mutasyonların fulminan seyirle ilişkili olabileceğini belirtmişlerdir.

Tüm bu verilere karşın akut ve fulminan hepatit olgularında HGV'nin etyolojik rolünün belirlenebilmesi için daha uzun süreli çalışmalara ihtiyaç duyulmaktadır.

Tablo 2: Akut hepatit olgularında HGV prevalansı

Hepatit türü	Referans	Olgı sayısı (n)	HGV-RNA + (%)
Ne-A ne -C	Alter ve ark (1)	16	3 (19)
Posttransfüzyonal	Linnen ve ark.(3)	13	3 (23)
	Nakatsuji ve ark. (49)	5	1 (20)
	Hwang ve ark. (50)	5	2 (40)
	Fiordalisi ve ark.(36)	31	11(35)
Sporadik	Alter ve ark. (45)	45	4 (9)
	Nakatsuji ve ark. (49)	43	0
Hepatit A	Alter ve ark. (45)	100	25(25)
	Nakatsuji ve ark. (49)	21	0
Hepatit B	Alter ve ark. (45)	21	3(14)
	Nakatsuji ve ark. (49)	100	32(32)
Hepatit C	Alter ve ark (1)	53	7(13)
	Alter ve ark. (45)	63	6(10)
	Nakatsuji ve ark. (49)	116	23(20)
	Hwang ve ark. (50)	52	5(10)

**Şekil 3: Bir akut posttransfüzyonal hepatitis olgusunun klinik seyri**

HGV-RNA kaybı ile eşzamanlı olarak ALT seviyeleri normalleşmekte ve aE2 antikorları saptanmaktadır.

Tablo 3: Akut viral hepatitlerde karşılaştırmalı klinik ve biyokimyasal veriler

Kaynak	HGV	HGV+HCV	HCV	Ne-A, Ne-G
Alter ve ark. (1)				
Sayı	3	6	56	10
Ortalama ALT tepe değeri (IU/ml)	198	724	726	418
Kronikleşme oranı (%)	67	50	48	20
Sarılık	0	33	32	0
T.Bil tepe değeri (mg/dl)*	0.87	3.97	3.14	1.18
Alter ve ark. (45)				
Sayı	4	23	93	41
Ortalama yaşı	27	31	34	39
Kadın/erkek	2/2	14/9	36/57	22/19
Ortalama ALT tepe değeri (IU/ml)	1680	1673	1410	335
Kronikleşme oranı (%)	0	14	50	12
T.Bil tepe değeri (mg/dl)	9.6	4.5	4.1	3.6
Hwang ve ark. (50)				
Sayı	2	5	47	
Ortalama yaşı	61	57	53	
Kadın/erkek	2/0	3/2	33/14	
Ortalama ALT tepe değeri (IU/ml)	201	887	617	
Kronikleşme oranı (%)	0	80	79	
Sarılık	0	20	19	
Nakatsuji ve ark. (49)				
Sayı	1	7	52	26
Ortalama yaşı	45	43.4	44.2	46.2
Kadın/erkek	1/0	4/3	18/34	12/14
Ortalama ALT tepe değeri (IU/ml)	586	640	1113	664
Kronikleşme oranı (%)	0	71	64	12
T.Bil tepe değeri (mg/dl)	1.1	1.9	2.7	5.9

*T.Bil: Total Bilirubin

4.4.2 Kronik hepatit, siroz ve hepatosellüler karsinom

HGV' nin sıkılıkla persistan infeksiyonlara yol açmasına karşın (%0-75), kronik hepatit, siroz ve hepatosellüler karsinom (HSK) ile ilişkisi belirgin değildir (49,55,56). Bir çalışmada, HGV-RNA olumlu otuz beş olgudan 32' sinin (%91) altı ay ve izlenen sekiz olgudan 5'inin de 4 yıla kadar persistan kaldığı bildirilmiştir (1). Bir diğer çalışmada ise, HGV-RNA'ının 16 yıla kadar saptanabilir düzeylerde kaldığı gösterilmiştir (5). Etyolojisi belirlenememiş kronik hepatit, siroz ve HSK ile HBV ve HCV ye bağlı olgular arasında HGV prevalansı açısından istatistiksel bir fark bulunmamaktadır (Tablo 4). Kronik hepatit C ve hepatit B hastalarında HGV koinfeksiyonu sıkılıkla görülmektedir (56). İzole HCV infeksiyonu ile HGV-HCV koinfeksiyonu saptanan hastalar arasında klinik süreç ya da interferon- α yanıtı arasında bir fark yoktur (42).

Tablo 4: Kronik hepatit, siroz ve hepatosellüler karsinomada (HSK) HGV-RNA prevalansı

Hastalık	Referans	Olgı sayısı (n)	HGV-RNA + (%)
Ne-A Ne-C			
Kronik hepatit	Nakatsuji ve ark.(49)	34	2(6)
	Linnen ve ark. (3)	158	15(10)
	Fiordalisi ve ark.(36)	18	7(35)
Siroz	Handajani ve ark.(29)	14	1(7)
	Nakatsuji ve ark.(49)	10	1(10)
HSK	Nakatsuji ve ark.(49)	6	0
	Kanda ve ark.(52)	8	0
	Brechot ve ark.(56)	14	2(14)
	Handajani ve ark.(29)	15	1(7)
Hepatit B			
Asemptomatik taşıyıcı	Nakatsuji ve ark.(49)	42	4(10)
Kronik hepatit	Handajani ve ark.(29)	5	1(20)
	Nakatsuji ve ark.(49)	36	0
	Linnen ve ark. (3)	72	7(10)
Siroz	Nakatsuji ve ark.(49)	17	3(18)
HSK	Brechot ve ark.(56)	23	0
	Kanda ve ark.(52)	25	1(4)
Hepatit C			
Kronik hepatit	Handajani ve ark.(29)	38	1(3)
	Nakatsuji ve ark.(49)	42	2(5)
	Linnen ve ark. (3)	96	18(19)
	Fiordalisi ve ark.(36)	18	7(39)
	Tanaka ve ark.(55)	189	21(
Siroz	Nakatsuji ve ark.(49)	42	5(12)
	Handajani ve ark.(29)	48	4(8)
HSK	Brechot ve ark.(56)	20	2(10)
	Handajani ve ark.(29)	25	2(8)
	Kanda ve ark.(52)	46	5(11)

4.5 HGV infeksiyonu tanısı ve genotiplendirilmesi

4.5.1 Tanı

4.5.1.1 Serolojik tanı

Serolojik tanı HGV抗原lerine karşı oluşan antikorların serumda gösterilmesine dayanmaktadır. Henüz HGV抗原lerini saptayabilen bir test geliştirilememiştir.

A- Enzyme immuno assay (EIA)

HGV zarf glikoproteinine karşı oluşan antikorları saptamak amacıyla bir EIA geliştirilmiş ve pek çok araştırma laboratuvarı tarafından tanısal olarak kullanılmaktadır (4,13,57-59). Bu amaçla kullanılan抗原, E2 bölgesini içeren bir cDNA parçasının Chinese hamster ovary (CHO) ya da *Escherichia coli* hücresına klonlanarak elde edilmektedir (4,13,58).

Anti-E2 antikorları viral klirensle ilişkili olup HGV-RNA ile genellikle bir arada bulunmaz. Bu nedenle daha çok geçirilmiş infeksiyonu tanımlar (4,13,47,57-60).

B- Strip immunoblotting assay (SIA)

Feucht ve ark., tarafından geliştirilmiş SIA, dört farklı rekombinant HGV epitopuna (E1, E2, NS3N, NS3-C/NS4) yönelen antikorların ayrı ayrı saptanmasını sağlamaktadır. Yapılan çalışmada, olguların %45'inde tüm bölgelere karşı antikor yanıtı saptanırken, % 28'inde E2-NS3N-NS3-C/NS4, %11'inde E2-NS3-C/NS4, %8'inde E1-E2-NS3-C/NS4, %6'ında E1-E2 ve % 3'inde NS3-C/NS4'e karşı antikor yanıtı saptanmıştır (61).

4.5.1.2 HGV-RNA'ının gösterilmesi

RT-PCR

Şu an için aktif HGV infeksiyonlarının tanısı, HGV genomunun RT-PCR yöntemi ile gösterilmesine dayanmaktadır. Bu yöntemde, ilk olarak ekstrakte edilmiş viral RNA'dan, bir ters transkriptaz enzimi (revers transcriptaz, RT) ile komplementer DNA (cDNA) elde edilmekte, ardından polimeraz zincir tepkimesi sonucu amplifikasyon gerçekleştirilmektedir.

PCR yönteminde DNA amplifikasyonu 3 aşamada gerçekleştirilmektedir,

- 1- Denatürasyon: Yüksek ısı kullanılarak DNA çift iplığının ayrışması sağlanır.

- 2- Annealing (hibridizasyon): Oligonükleotid primerler ile hedef DNA ipliği eşleşir.
- 3- Extensiyon (polimerizasyon): Bir polimeraz enzimi ile primerlerden başlayarak komplementer iplığının oluşması sağlanır.

Döngüsel ısı üretebilen bir cihazda (thermocycler), bu üç aşama 30-40 kez tekrarlanarak, her döngü sonucunda hedef DNA'nın iki kat artması sağlanır. Son olarak amplifiye edilmiş DNA farklı yöntemlerle görünür hale getirilmektedir.

RT-PCR, HGV genomunun NS3, NS5 ve 5'-NCR gibi farklı subgenomik bölgelerini hedefleyen primerler ile gerçekleştirilebilir. Bu primerlerin duyarlılıkları arasında belirgin bir fark saptanmamıştır (1-3,62-66).

4.6 Epidemiyoloji

HGV infeksiyonları tüm dünyada yaygın olarak görülmektedir. İnsanlar dışında *Pan troglodytes*, *troglodytes* ve *versus* türü şempanzeleri de doğal yollardan infekte edebildiği gösterilmiştir (64).

HGV, sağlıklı bireylerde % 1-4 arasında yüksek viremi oranı sergiler. HGV-RNA prevalansı ülkeden ülkeye önemli değişiklikler gösterir. İspanya (%3), Vietnam (%5.2), Almanya (%4.7), Güney Afrika (%10.4), Batı Afrika (%14.2) gibi ülkelerde prevalansı, Japonya (%0.6-0.9), Çin (%0.7-2), Norveç (%2,5) ve ABD den (%0,9) daha yüksektir (1,45,67-71). Türkiye'de sağlıklı popülasyonda, %0,5 ve %3,4 görülmeye sıklığı saptanmıştır (72,73).

HGV parenteral yolla bulasmaktadır, ayrıca HGV olumlu hastaların sperm ve tükrüklerinde viral RNA saptanmış, vertikal ve seksüel yolla da bulasabilecegi gösterilmiştir (71,74,75).

4.6.1 HGV infeksiyonu için riskli gruplar

Temel olarak iki bulaş yolu bulunmaktadır.

- A- Parenteral yolla bulaş ile oluşan infeksiyonlar.
- B- Parenteral olmayan bulaş ile oluşan infeksiyonlar.

A- Parenteral bulaş

1- Kan transfüzyonu sonrası HGV infeksiyonu

HGV ile kontamine kan ve kan ürünlerinin transfüzyonu, HGV için en önemli bulaş yollarından biridir (76-79). Genellikle kan transfüzyon sayısı arttıkça HGV ile infeksiyon riski de artmaktadır. Viral inaktivasyon yapılmamış ve oldukça geniş bir serum havuzundan hazırlanan plazma ürünleri de bu konuda önemli bir rol oynamaktadır. On yedi faktör VIII örneğinin 16'ında (%94) ve altı faktör IX örneğinin altısında (%100) HGV-RNA olumlu bulunmuştur (77).

2- Damar içi uyuşturucu kullanıcılarda HGV infeksiyonu

Damar içi uyuşturucu kullanıcılarda HGV prevalansı oldukça yüksektir ve bağımlılık süresi uzadıkça HGV ile karşılaşma riski artmaktadır. Damar içi uyuşturucu kullanıcılarda saptanan yüksek prevalansın ortak enjektör kullanımına bağlı olduğu düşünülmektedir (4,80) (Tablo 5).

3- Hemodializ sağaltımı alan hastalarda HGV infeksiyonu

Hemodializ hastalarında HGV viremi oranı %3 ile %29 arasında değişmektedir (Tablo 5). HGV-RNA olumluluğu ile hemodializ süresi ve kan aktarım miktarı arasında istatistiksel olarak anlamlı bir korelasyon bulunmaktadır (5,26,29,82-85). Fakat kan transfüzyonu yapılmamış ve hemodializ süreleri kısa olan hastalarda da HGV infeksiyonlarının saptanması başka olası bulaş yollarını düşündürmektedir (83).

4- Transplantasyon ve HGV infeksiyonu

Böbrek transplant hastalarında HGV prevalansı yüksektir. Bu durum transplantasyon öncesinde hemodializ sağaltımı ya da kan transfüzyonlarına da bağlı olabilir. İki çalışmada, böbrek transplantasyon alicilarında HGV ile karşılaşma oranı %26 ve %53 olarak bildirilmiştir (Tablo 5) (84,86-88).

B- Parenteral olmayan bulaşma

1- Seksüel bulaşma

HGV infeksiyonlarının cinsel yol ile bulaşabilecegi ve bu yolun önemli bulaş yollarından biri olduğu düşünülmektedir. HGV olumlu 12 kan donörünün cinsel partnerleri araştırılmış ve dördünde (%33) HGV-RNA, dördünde ise (%33) HGV'ye karşı antikor yanıtı gösterilmiştir. Donörler ile partnerlerinde saptanan HGV izolafları arasında %99,2 ile %100 arasında nükleotid benzerliklerinin saptanmış olması, HGV' nin cinsel yolla bulaşabileceğini göstermektedir (69). HGV ile infekte bireylerin sperm örneklerinde HGV-RNA gösterilmiştir (74). Homoseksüel bireylerde HGV viremi oranı %10 olarak saptanmıştır (77).

2- Vertikal bulaşma

Yapılan çalışmalar HGV' nin vertikal yolla oldukça yüksek oranlarda bulaşabileceğini düşündürmektedir (89-94). Sezaryen ile yaptırılan doğumların HGV vertikal bulaş riskini azalttığı bildirilmiştir (92). Normalde plasenta, anne kanı ile bebek kanının karışmasını engelleyen bir bariyer görevi görmektedir fakat uterus kontraksiyonları sırasında bu bariyerin bütünlüğünün bozulduğu ve intrauterin bulaşın esas olarak bu yolla meydana geldiği belirtilmektedir (92). HGV viremisi saptanan bebeklerin %92' sinde HGV-RNA' nin bir yıl, % 50' sinde ise üç yıl saptanabilir düzeylerde kaldığı gösterilmiştir ve bebeklerin %33' ünde geçici ve ılımlı ALT yükselmeleri (91-115 IU/ml) saptanmıştır (91).

3- Cinsel olmayan yakın ilişki sonucu gelişen bulaşma

HGV' nin aile içi bulaşabilecegi ve tükrük gibi vücut sıvalarında bulunabileceği gösterilmiştir (68,75). Sağlıklı popülasyonda yüksek karşılaşma oranlarının saptanması cinsel ilişki olmaksızın yakın sosyal ilişkinin HGV bulaşında rol oynayabileceğini düşündürmektedir.

4.7 Sağaltung

HGV infeksiyonları genellikle asemptomatik seyreder ve hastalıklarla ilişkisi belirsizdir, bu nedenle, sağaltung gereklidir. Fakat, HGV interferon α sağaltungına duyarlıdır. HGV-HCV koinfekte on hastadan 9' unda interferon sağaltungı sonrasında HGV viral yükünde

istatistiksel olarak anlamlı bir azalma kaydedilmiş ve hastaların % 30unda ise kahçı yanıt elde edilmiştir (95).

Tablo 5: Farklı risk gruplarında HGV-RNA prevalansı

Risk Grubu	Olgı sayısı (n)	HGV-RNA (%)	aE2*	Toplam
Hemofili				
Handajani ve ark. (29)	66	13 (19)		
Kao ve ark. (30)	10	3 (30)		
Lara ve ark. (77)	17	2 (12)		
Jarvis ve ark. (76)	66	13 (15)		
Aplastik anemi				
Kao ve ark. (30)	20	4 (20)		
Ig sağaltımı alan hastalar				
Morris ve ark.(78)	28	8 (28)		
Lefrére ve ark. (79)	16	2 (12,5)		
Damar içi uyuşturucu bağımlıları				
Tacke ve ark. (4)	99	38 (38)	41 (41)	75 (75)
Dille ve ark. (13)	27	1 (4)	23 (85)	24 (89)
Kao ve ark. (30)	40	6 (15)		
Lara ve ark. (77)	50	12 (24)		
Schlueter (80)	130	43 (33)		
Hemodiyaliz hastaları				
Handajani ve ark. (29)	69	20 (29)		
Kao ve ark. (30)	328	57 (17)		
Masuko ve ark. (5)	519	16 (3)		
Pujol ve ark. (26)	64	6 (9)		
Sampietro ve ark. (82)	100	19 (19)		
Szabo ve ark. (84)	31	3 (10)	4 (13)	7 (23)
Tribl ve ark. (43)	119	16 (13)	24 (20)	38 (32)
Forns ve ark. (83)	96	25 (26)		
Şengül ve ark.(96)	42	3(7)		
Öztürk ve ark.(72)	67	22(31)		
Günaydin ve ark.(73)	78	27(34)		
Renal tx. Alıcıları				
Stark ve ark. (87)	221	31 (14)	89 (40)	118 (53)
Szabo ve ark (84)	92	14 (15)	10 (11)	24 (26)
Erensoy ve ark. (88)	14	6(42)		

*aE2: anti-E2

4.8 Hemodiyaliz hastaları ve viral hepatitler

Kronik diyaliz hastalarının ölüm oranları, yılda ortalama % 10-15'dir. En önemli mortalite ve morbidite nedenleri infeksiyonlar ve kardiyovasküler nedenlerdir (97). Hemodiyaliz hastaları en az iki nedenden ötürü infeksiyon hastalıklarından daha çok etkilenirler. Bunlardan ilki, hastaların infektif ajanlarla karşılaşma risklerinin artmış olması, ikincisi ise hastaların infeksiyonlara karşı dirençlerinde azalmadır.

Parenteral yol ile bulan virusların, hasta ya da sağlık personeline bulasında en önemli kaynak infekte kan ve kan ürünleri ya da bu ürünlerle kontamine tıbbi gereçlerdir. HIV, HCV ve HBV sağlam deriden doğrudan penetre olamaz. Fakat iğne batmaları, diğer kesici aletlerle yaralanmalar, deri çatlakları, yanıkları yada yaraları ya da kontamine ürünlerin mukozal yüzeylere direk inokülasyonu bulsa neden olabilmektedir (98).

Hepatit virusları, hemodiyaliz sağaltımı gören hastalarda sıkılıkla infeksiyonlara yol açar. Hastanemiz hemodiyaliz ünitesinde yapılan araştırmalarda HBV belirleyicileri %6,1, HCV RNA %27 olarak saptanmıştır (99,100).

Tablo 6: Hemodiyaliz hastalarında hepatit viruslarının görülmeye sıklığı

Kaynak	Olgı sayısı (n)	HbsAg (%)	HCV-RNA (%)
Masuko ve ark. (5)	519	15 (2,9)	107 (20,6)
Sampietro ve ark. (82)	100	12 (12)	24 (24)
Forns ve ark. (83)	96	13 (14)	35 (36)

5 GEREÇ ve YÖNTEM

5.1 Gereç

5.1.1 Çalışma Grubu

Dokuz Eylül Üniversitesi Tıp Fakültesi Hastanesi Hemodiyaliz ünitesinde düzenli hemodiyaliz sağaltımı alan 23 erkek, 19 kadın toplam 42 hastanın serum örnekleri HGV-RNA varlığı açısından araştırıldı.

5.1.2 Hemodiyaliz ünitesi çalışanları

Olası bir nozokomiyal bulaşı tanımlayabilmek amacıyla Dokuz Eylül Üniversitesi Tıp Fakültesi Hastanesi Hemodiyaliz Ünitesinde çalışan 9 hemşire, 4 doktor, 2 temizlik elemanı, 1 sekreter ve 1 teknik personel olmak üzere toplam 17 (Erkek: 4, Kadın:13) sağlık çalışanında HGV-RNA araştırıldı.

5.1.3 Kontrol Grubu

Dokuz Eylül Üniversitesi Tıp Fakültesi Dermatoloji polikliniğine başvurmuş ve tanımlanan risk grupları içerisinde yer almayan 156 kontrolde (Erkek:66, Kadın:90) HGV-RNA araştırıldı.

5.1.4 Serum Örnekleri

Hasta ve kontrollerin serum örnekleri toplanmış, steril eppendorf tüplerde -70°C' de dondurularak çalışmaya kadar saklanmıştır.

5.2 Yöntem

Çalışma grubunda HBV belirleyicileri (HbsAg, aHBC total) ve anti-HCV EIA ile araştırılmıştır. HGV-RNA varlığı RT-PCR ile araştırılmış ve olumlu örnekler nükleotid dizi analizi ile evrimsel yakınlıklarını açısından incelenmiştir. Bulguların tanımlayıcı ve analitik istatistik değerlendirmeleri SPSS versiyon 8.0 programında yapılmıştır.

5.2.1 HGV-RNA' nin cDNA RT-PCR ile gösterilmesi

Ayraçlar-Gereçler

1- DEPC-H₂O (dietilpirokarbonat) (Sigma D5758)

DEPC	0.05 ml
Deiyonize	1000 ml

Bir gece oda ısısında bırakıldı. 60°C de 2 saat kapağı gevşetilerek tutuldu. Otoklavlandı.

2- Fenol (pH: 4.3) (Sigma P4682)

4- Sodyum sitrat (Sigma C8532)

Sodyum sitrat 5.5 H ₂ O	15.78 g
DEPC-H ₂ O	100 ml'ye tamamlandı.

(pH:7.0) Otoklavlandı. Oda ısısında 6 ay stabildir.

5- Sarcosil %10 (sigma L9150)

Sarcosil	1 g
DEPC-H ₂ O	10 ml'ye tamamlandı.

Otoklavlanmaz. Oda ısısında en az 3 ay stabildir.

6- Guanidium tiyosiyanat (GSCN) (Sigma G9277)

guanidyum thiocyanate	25 g (4M)
0.25 M sodyum sitrat	5 ml (75mM)
%10 sarkosyl	2.5 ml
DEPC-H ₂ O	50 ml' ye tamamlandı.

Oda ısısında en az 3 ay stabildir.

7- 2-mercaptoethanol (14M) (Sigma M7154)

8- Denatürasyon çözeltisi (Sol.D)

4M GSCN	9.9 ml
2-merkaptoetanol (14 M)	0.1 ml

Oda ısısında 1 ay stabildir.

9- 4 M NaCl

NaCl	11.68 g
DEPC-H ₂ O	50 ml'ye tamamlandı.

Otoklavlandı.

10- 1 M Tris-Cl (pH: 8.3)

Trizma base (Sigma T8524)	46.5 g
Trizma Hcl	18.3 g
DEPC-H ₂ O	500 ml' ye tamamlandı.

11- %70 Etanol

%95 EtOH	74 ml
Distile su	26 ml

12- Sodyum asetat (Sigma S2889)

	<u>2M</u>	<u>3M</u>
NaOAc (anhidroz)	16.4 g	24.61 g
yada NaOAc.3H ₂ O	27.2 g	39.01 g
DEPC-H ₂ O	100 ml'ye tamamlandı.	

(pH:5.2) pH glasiyel asetik asit eklenerek ayarlandı.

Otoklavlandı. Oda ısısında 6 ay stabildir.

13- EDTA (etilendiamintetraasetikasit) (SigmaE5134)

	<u>0.5M</u>	<u>0.2M</u>
Na ₂ EDTA	18.6 g	7.44 g
Distile H ₂ O	100 ml	100 ml

EDTA pH:8.0'da erir. 1-2 g NaOH pelleti ile istenen pH elde edilebilir.

Otoklavlandı.

14- TBE (5X)

Tris base (Sigma T8524)	54 g
Boric asid (Sigma B6768)	27.5 g
0.5M EDTA	20 ml
Distile su	1000 ml' ye tamamlandı.

Otoklavlandı. Oda ısısında 1 ay stabildir.

15- DTT 1M (ditioerithritol) (Sigma D9779)

DTT	1.54 g
0.01 M NaOAc	10 ml

Filtrasyon ile sterilize edildi. 4 °C de saklandı.

16- Jel yükleme tamponu (Tip III, 6X)

%0.25 bromfenol mavisi (%10 stoktan)	0.75 ml
%0.25 xylene siyanol FF(%5 stoktan)	1.5 ml
%30 gliserol (su içindeki karışımı)	9 ml
Distile H ₂ O	18.75 ml

17- Etidium bromid (1000X, 5mg/ml) (Sigma E8751)

Etidyum bromid	0.5g
Distile H ₂ O	100 ml

İşıktan korumak için aluminyum folyo ile kaplandı. 4 °C de saklandı.

18- Glikojen (20 µg/50 µl) (Sigma G1767)

Glikojen	4 mg
DEPC-H ₂ O	10 ml

Alikotlanır, -20 °C de saklandı.

19- Poliadenilikasit (Poly-A) (2mg/ml) (Behringer mannheim 108626)

Poly-A	100 mg
DEPC-H ₂ O	50 ml

20- %10 DMSO (dimetilsülfoksid) (Sigma D 8418)

DMSO	1 ml
DEPC-H ₂ O	10 ml'ye tamamlandı.

21- dNTP karışımı (40µmol her biri) (Promega U1240)

(10 mM/herbiri,toplam 40mM) (2.5 mM/herbiri,toplam 10mM)

dATP (100 mM)	100µl	25µl
dCTP (100 mM)	100µl	25µl
dGTP (100 mM)	100µl	25µl
dTTP (100 mM)	100µl	25µl
DEPC-H ₂ O	600µl	900µl

-20° C da saklandı.

22- Kloroform:isoamilalkol

Kloroform (Sigma C2432) 49 kısım

İsoamilalkol 1 kısım

Her çalışmada taze hazırlandı.

RNA Eldesi:

RNA eldesi modifiye "acid guanidium thiocyanate phenol-chloroform" yöntemi ile gerçekleştirildi (101).

1- Bir eppendorf tüpüne sırası ile,

Plazma	100 µl
Solüsyon D	400 µl
2M Sodyum asetat	50 µl
Fenol	500 µl
Kloroform-isoamil alkol (50/1)	100 µl

2- Vortex karıştırıcıda 1400 devirde 15 dakika karıştırdı.

3- Tüp 10.000 g' de 20 dakika çevrilerek faz ayrılması sağlandı.

4- Üstteki sıvı faz yeni bir tüpe aktarıldı, üzerine eşit hacimde soğuk absolü isopropanol ve 1,25 mg/l konsantrasyonunda olacak şekilde glikojen eklendi .

5- Tüp bir gece -20 °C' de tutuldu.

6- Tüp 10.000 g' de 20 dakika çevrildi.

7- Çökelti %70 etanol ile iki kez yıkandı, 37 °C' de kuru ısı bloğu üzerinde kurutuldu.

8- 50 µl DEPC-H₂O ile sulandırıldı. Sulandırılan RNA örnekleri hemen cDNA oluşturmak için kullanıldı.

cDNA Eldesi:

1- Bir eppendorf tüpüne toplam hacim 20 µl olacak biçimde aşağıdakiler konuldu.

AMV RT 5x buffer	4µl
Primer531(70 pmol/µl)	1,5µl (105 pmol/final)
RNAsin (40U/µl)	0,5µl (20 U/final)
AMV RT (25 U/µl)	0,5µl (12,5 U/final)
DNTP (1mM/herbir)	3 µl (150 µM/herbiri)
DMSO	3 µl
DEPC-H ₂ O	2,5 µl

2- Tüp 42 °C' de 60 dakika inkübe edildi. cDNA örneği bekletilmeden ürün PCR' da kullanıldı.

Birinci PCR

1- Her bir örnek için 0,2 µl eppendorf tüpüne toplam hacim 50 µl olacak şekilde aşağıdakiler konuldu.

10x Taq buffer	5 µl
25mM MgCl ₂	3 µl (1,5 mM/final)
Primer 531 (70 pmol/µl)	0,7 µl
Primer 108 (50 pmol/µl)	1 µl
dNTP (0,75 mM/her biri)	1 µl (60 µM/herbiri)
Taq polimeraz (5 U/µl)	0,3 µl (1,5 U/final)
Steril distile su	34 µl
cDNA	5 µl

2- Thermocycler programı

94 °C' de 2 dakika ön denatürasyon sonrası, 94 °C 1 dakika, 50 °C 1 dakika, 72 °C 2 dakika thermocycler programı ile 30 döngü gerçekleştirildi. Son uzatma (final ekstensiyon) için 72 °C' de örnekler 10 dakika tutuldu.

3- Birinci PCR ürünleri, ikinci PCR gerçekleştirilemesine deðin 4 °C' de saklandı.

İkinci PCR

1- Her bir örnek için 0,2 µl eppendorf tüpüne toplam hacim 50µl olacak şekilde aşağıdakiler konuldu.

10x Taq buffer	5 µl
25mM MgCl ₂	3 µl (1,5 mM/final)
Primer 134 (50 pmol/µl)	1 µl
Primer 476(50 pmol/µl)	1 µl
dNTP (0,75 mM/her biri)	1 µl (60 µM/herbiri)
Taq polimeraz (5 U/µl)	0,3 µl (1,5 U/final)
DMSO	2 µl (% 4/final)
Steril distile su	34,7 µl
1. PCR ürünü	2 µl

2- Thermocycler programı

94 °C' de 2 dakika ön denatürasyon sonrası, 94 °C 1 dakika, 55 °C 1 dakika, 72 °C 2 dakika thermocycler programı ile 30 döngü gerçekleştirildi. Son uzatma (final ekstensiyon) için 72 °C' de örnekler 10 dakika tutuldu.

Kullanılan primerler, dizileri ve hedef bölgeleri Tablo 7' de gösterilmiştir.

Tablo 7: PCR da kullanılan primerler

Primer	Polarite	Dizi	Pozisyon	Ürün uzunluğu
Birinci PCR				
G531	Sense	5'-TGC CAC CCG CCC TCA CCC GAA-3'	-445	424 bp
G108	Antisense	5'-AGG TGG TGG ATG GGT GAT-3'	-22	
İkinci PCR				
G476	Sense	5'-GGR GCT GGG TGG CCY CAT GCW T-3'	-419	344 bp
G134	Antisense	5'-TGG TAG GTC GTA AAT CCC GGT-3'	-76	

Sonuçların Değerlendirilmesi:

Bu amaçla, 1x TBE içinde % 2 agaroz jel hazırlandı ve manyetik ısitıcıda eritildi. 50 ml agaroz içerisinde, 5mg/ml etidyum bromid çözeltisinden 5 µl eklendi ve jel kalıba dökülerek kullanıma hazırlandı. Φx174 marker ve örnekler yükleme tamponu eklendikten sonra (5µl jel yükleme buffer + 25 µl amplifiye ürün) jele aktarıldı. Jel 1x TBE içinde 80V uygulanarak 30-45 dakika yürütüldü. Sonuçlar ultraviyole transilluminatörde 280-340 nm dalga boyunda incelendi. Bant büyülüklükleri marker ile karşılaştırıldı ve 344 baz büyülüğündeki bantlar olumlu olarak değerlendirildi.

5.2.2 HGV genotiplendirilmesi

Genotiplendirme, olumlu PCR örneklerinin dizi analizleri ile gerçekleştirildi.

1- Nükleotid dizileri

Nükleotid dizileri GenBank' den elde edildi. Smith ve ark. 'nın (20,23), tanımladıkları Grup 1-4 izolatlardan yararlanıldı. (GenBank no: D87251, D87252, D87253, D87254, U59522, U59526, U59543, U59544, U59546, U91693, AF006964, AF006965, AF006966, AF007977, AF210439, AF210444, AF121950, AB013231, AF070476)

2- Dizileme

HGV dizilerinin belirlenmesi için, polimeraz zincir tepkimesi sonucu elde edilen ve 5'- NCR içerisinde yer alan 344 bazlık (-399 ile -42) bir bölge kullanıldı. Olumlu PCR örnekleri etanol ile saflaştırıldı.

Dizileme reaksiyonları, Sequitherm Excel II DNA Sequencing Kits-LC (Epicentre SE9202LC) ile üretici firmanın önerileri doğrultusunda aşağıdaki şekilde gerçekleştirildi.

1- Kit içeriği buz üzerinde çözünmeye bırakıldı. Tüm kit komponentleri vortekslenerek homojen hale getirildi.

2- Premiks olarak işaretlenen bir eppendorfa (0.2 ml) toplam hacim 17 µl olacak şekilde aşağıdakiler kondu.

3.5x SequiTherm Excel II Sequencing buffer	7.2 µl
İşaretli primer (IRD800 işaretli G134)	2 µl*
Kalıp DNA (Pürifiye edilmiş 100-250 fmol/µl)	1 µl **
SequiTherm Excel II DNA polimeraz(5U/µl)	1 µl
Deionize su ile	17 µl' ye tamamlandı.

* IRD800 işaretli primer ışık görmemelidir, bu nedenle karışımalar fazla ışık görmeyen bir ortamda hazırlandı.

** Kalıp DNA premix içerisinde aynı bir alanda (aktarım odasında) eklendi.

3- Dizilenecek her örnek için 4 adet 0.2 µl eppendorf tüpü A, T, C, G olarak işaretlendi.

Buz üzerinde

G tüpüne 2 µl SequiTherm Excel II-LC Termination Mix G

A tüpüne 2 µl SequiTherm Excel II-LC Termination Mix A

T tüpüne 2 µl SequiTherm Excel II-LC Termination Mix T

C tüpüne 2 µl SequiTherm Excel II-LC Termination Mix C ' den eklendi.

4- Buz üzerinde premiks tüplerden her bir "Termination Mix" tüpüne 4 µl aktarıldı.

5- Mineral ya  eklendi.

6- Santrifuj yapılarak mineral ya ın karışımından ayrışması sağlandı.

7- A, T, C, G tüpleri 5 dakika 95 °C' de ısıtılarak kalıp DNA denatüre edildi.

8- Aşağıdaki ıslarda 30 sıklus gerçekleştirildi.

30 sn 95 °C

15 sn 50 °C

1 dk 70 °C

9- 3 μ l Stop/Loading buffer eklendi. Elektroforez için jele yükleninceye kadar -20 °C' de saklandı.

Camların temizlenmesi

Uygun bir jel için camların temizliği çok önemli olduğundan, önce sıcak musluk suyu ile yıkanan camlar daha sonra distile su ile durulandı, cam üzerinde kalan su damlacıkları bir havlu kağıt ile kurulandı. Camların her iki yüzeyi etanol ile silindi. Kulaksız olan arka cam, çentikli tarafı (dış yüzey) aşağı gelecek şekilde banko üzerine yerleştirildikten sonra her iki kenara spacer konuldu. Kulaklı ön cam, çentiksiz tarafı (iç yüzey) alkol ile silinip kurutulduktan sonra çentikli tarafı üste gelecek şekilde, spacerların yerleşimlerini bozmadan yerleştirildi. Cam sıkıştırıcılar dikkatlice takıldı ve sıkıştırdı. Üste gelecek kısma "casting plate" yerleştirildi.

Jel hazırlığı

- 1- Yüz ml beher içerisinde sırası ile, 21 g üre, 30.5 ml bidistile/deionize su, 5.6 ml Rapid-Gel XL %40, 5 ml 10x Long Run TBE ve 500 μ l DMSO eklendi.
- 2- Manyetik karıştırıcıda ve oda ısısında tamamen berraklaşınca kadar (yaklaşık 10 dk) karıştırdı.
- 3- Karışım 50 cc enjektöre çekildi ve bir başka beher içerisinde filtre edildi.
- 4- Elli μ l TEMED ve 350 μ l %10 APS (taze hazırlanmış) eklendi.
- 5- Zaman kaybetmeden temiz 50 cc enjektöre çekildi, enjektör ucu takılıp, bir miktar jel dışarı atılarak enjektör ucu prime edildi.
- 6- İki cam arasına ön camın kulakları arasında kalan köşeden başlayarak jel dolduruldu.

- 7- Camların dip kısmı tamamen jel ile dolduktan sonra doldurma işlemi sonlandırıldı ve camlar hemen horizontal konuma getirildi.
- 8- Tarak (0.25 mm) arka tarafı jel içerisinde 0.5 cm girecek şekilde cama paralel olarak jel içerisinde yerleştirildi ve polimerizasyon için 2 saat oda ısısında bekletildi.

Örneklerin yüklenmesi

Jel yükleme tamponu eklenmiş ve A, T, C, G olarak işaretlenmiş örnekler 90 °C' de 3 dakika denatüre edildikten sonra buz üzerine alındı ve her bir örnekten 2 µl jele aktarıldı. LI-COR DNA sequencer cihazında aşağıdaki koşullarda elektroforez uygulandı ve yaklaşık sekiz saat sonra bant görüntüleri ve bu bantların semi-otomatik olarak değerlendirilmesi ile DNA diziler elde edildi.

Tablo 8: Elektroforez koşulları

Voltaj	Akım	Güç	Sıcaklık	Tarama hızı	Frame	Pre-run	Buffer
2200V	40 mA	45 W	45 °C	3	35	45 dakika	1x

2- Dizi Analizi

Elde edilen HGV dizileri Clustal W (1.74) Multipl Sequence Alignments ve DNA-Star 4.01 (©DNAstar Inc. 1989) programları kullanılarak hizalandı. Hizalanmış diziler MEGA version 1.02 programında (Kumar ve ark., 1993) "Jukes-Cantor distance" ile karşılaştırıldı, "neighbour-joining" yöntemi ile filogenetik ağaç oluşturuldu ve bootstrapping değerleri elde edildi. Ayrıca Phylip version 3.06 (Felsenstein, 1993) DNAdist programı ile diziler arasındaki evrimsel uzaklık değerleri elde edildi.

3- İstatistiksel analiz

Verilerin değerlendirilmesinde, tanımlayıcı ve analitik istatistiksel değerlendirmeler SPSS 8.0 programında yapılmıştır. Elde edilen veriler, Fisher's exact test ile değerlendirilmiş ve dağılımların p için 0.05 düzeyinde farklı olup olmadıkları araştırılmıştır.

6 BULGULAR

6.1 Çalışma grubunun demografik özellikleri

Dokuz Eylül Üniversitesi Tıp Fakültesi Hemodiyaliz Ünitesinde sağaltım alan hastaların (n:42) yaş aralığı 10-83 yıl (ortalama 55.93 ± 18.17), hemodiyaliz programında bulundukları süre 3-152 ay (ortalama 35.26 ± 35.01), kan aktarım sayısı 0-34 ünite (ortalama 2.6 ± 5.81) olarak saptanmıştır. Çalışma grubunun demografik özellikleri Tablo 9' da özetlenmiştir.

6.2 Kontrol grubunun demografik özellikleri

Dokuz Eylül Üniversitesi Tıp Fakültesi Hastanesi Dermatoloji polikliniğine başvurmuş, risk grupları içerisinde yer almayan kontrol grubunun (n:158) yaş sınırı 20-77 yıl (ortalama 42.9 ± 12.8) olarak saptanmıştır.

6.3 Çalışma ve kontrol gruplarında viral hepatit etkenleri

Hemodiyaliz hastalarının sekizinde (% 19) anti-HCV, birinde (%2,3) HbsAg, 16'ında (%38) anti-HBc saptanmıştır. Kontrol grubunda ise bir kişide (%0.6) anti-HCV ve 15 kişide de (%9.6) HBsAg saptanmıştır.

6.4 HGV-RNA bulguları

Hemodiyaliz hastalarının beşinde (% 12), hemodiyaliz ünitesi çalışanlarından birinde (%5.8), kontrol grubunun ise ikisinde (%1,2) HGV-RNA olumlu bulunmuştur (Resim 1) (Tablo 10).

Çalışma grubunda, HGV-RNA olumluluğu ile yaş, hemodiyaliz sağaltım süreleri, kan aktarımı, aktarım sayısı ya da operasyon öyküsü arasında anlamlı bir ilişki saptanamamıştır (Tablo 11). İzole HGV infeksiyonu belirlenen üç hastanın, son bir yıllık ALT değerleri normal düzeylerde saptanmıştır (20-34 IU/ml). ALT yüksekliği (79 IU/ml) gösteren iki hastadan birinde HGV-RNA ile birlikte HBsAg ve anti-HCV, diğerinde ise HGV-RNA ve anti-HCV olumlu bulunmuştur.

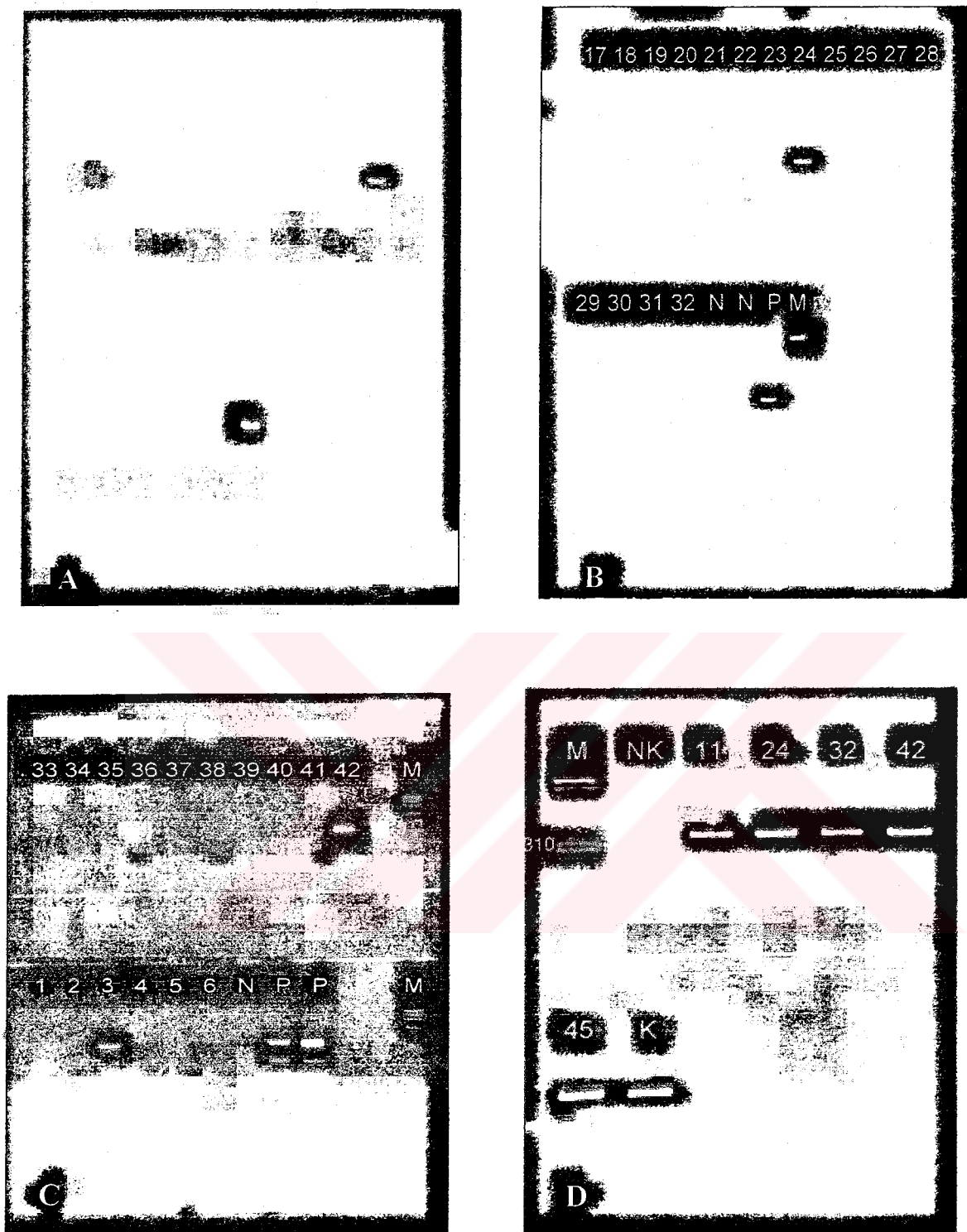
6.5 Nükleotid dizi analizi bulguları

Kontrol grubundan izole edilmiş bir izolat dışında tüm HGV izolatlarının, 5'-NCR içerisinde yer alan 188 baz uzunluğundaki DNA dizileri elde edilmiştir (Şekil 4). Bu dizilerin filogenetik analizi sonucunda, HGV ile infekte beş hasta ve bir hemodiyaliz hemşiresinde HGV grup 2, kontrol grubunda yer alan bir olguda ise HGV grup 4 infeksiyonu saptanmıştır (Şekil 5).

DEÜ2, DEÜ11 ve DEÜ32 numaralı izolatlarda, 5'-NCR -180 ve -177 nükleotid pozisyonları arasında, bilinen HGV izolatlarında saptanmayan, dört bazlık bir insersiyon alanına rastlanmıştır (Şekil 4).

Filogenetik ağaç güvenilirliğin değerlendirilmesi amacıyla Mega programında "bootstraping" analiz yapılmıştır. Özellikle HGV grup 2 için bootstrap değerleri oldukça düşük sonuç vermiştir. Smith ve ark., (23) 1997 yılında nükleotid dizi analizleri için en güvenilir sonuçların 5'-NCR içerisinde kalan yaklaşık 200 nükleotid uzunluğunda bir bölgenin incelenmesi ile elde edilebileceğini belirtmişlerdir ve çalışmamızda bu nedenle aynı bölge seçilmiştir. Fakat 33 tam genom HGV dizisi ile gerçekleştirilen, 2000 yılında yapılmış bir araştırma, filogenetik analiz için en uygun subgenomik bölgenin E2 bölgesi olduğunu göstermektedir (20). E2 bölgesi içerisinde yer alan, 200-600 nükleotid uzunluğunda bir alan dışında, diğer subgenomik bölgelerden yapılan analizlerin düşük "bootstraping" değerlerine neden olabileceği bildirilmiştir (20). HGV'de farklı subgenomik bölgeler arasında karmaşık rekombinasyonların ve beklenmedik nükleotid değişimlerinin "bootstrap" değerlerindeki azalmalarдан sorumlu olabileceği belirtilmektedir (20).

Yeni saptanan izolatların, "bootstrap" değerleri üzerindeki etkilerini incelemek amacıyla, 1997 yılında Smith ve ark.'nın (23) kullandıkları dizilerle ve bu dizilere yeni saptanan izolatlar eklenerek iki farklı ağaç oluşturuldu. Oluşan ağaçlar arasında "bootstrap" değerlerinde, özellikle grup 2 izolatlarında, belirgin farklılıklar gözlandı (Şekil 6). Bu nedenle oluşturduğumuz filogenetik ağaçtaki düşük "bootstrap" değerlerinin seçilen subgenomik bölge ile ilişkili olduğunu düşünmekteyiz.



Resim 1: PCR bant görüntümleri

A 1-16 no'lu hastalar, B 17-32 no'lu hastalar, C 33-42 no'lu hastalar ve 1-6 numaralı hemodiyaliz personeli, D Dizileme reaksiyonlarına alınan olumlu örneklerin saflaştırma sonrası bant görüntümleri [11, 24, 32, 42 no'lu hemodiyaliz hastaları, 45 no'lu örnek (hemşire), K (dermatoloji kontrol olgusu)]. (N: negatif kontrol P: pozitif kontrol M: marker) (Beklenen bant büyüklüğü 344 bp)

Tablo 9: Çalışma grubunun özellikleri

Hasta no	Yaş (yıl)	Cinsiyet	Hemodiyaliz sağaltım nedenleri	Hemodiyaliz süresi (ay)	ALT (IU/ml)	Kan aktarım sayısı (ünite)
1	52	E	Henocheschonlein purpurası	56	28	0
2	70	E	Obstrüktif nefropati	21	28	34
3	82	E	Kronik böbrek yetmezliği	16	34	1
4	58	K	Diabetik nefropati	59	23	0
5	68	E	Kronik böbrek yetmezliği	5	20	2
6	61	K	Kronik böbrek yetmezliği	104	34	0
7	50	K	Kronik böbrek yetmezliği (pyelonefrit)	96	22	0
8	62	K	Kronik böbrek yetmezliği (pyelonefrit)	9	40	0
9	61	K	Kronik böbrek yetmezliği	48	33	12
10	53	E	Kronik böbrek yetmezliği	3	32	0
11	80	K	Hipertansif nefropati	15	84	3
12	83	K	Kronik böbrek yetmezliği (pyelonefrit)	10	34	0
13	49	E	Post streptokoksik glomerulonefrit	15	18	0
14	37	E	Membrano proliferatif glomerulonefrit	10	195	0
15	75	K	Kronik böbrek yetmezliği (pyelonefrit)	18	29	7
16	74	K	Kronik böbrek yetmezliği	4	34	3
17	70	E	Membrano proliferatif glomerulonefrit	14	26	2
18	47	E	Polikistik böbrek hastalığı	40	14	0
19	57	E	Diabetik nefropati	11	24	0
20	66	K	Kronik böbrek yetmezliği	26	16	0
21	75	E	Kronik böbrek yetmezliği	17	12	0
22	49	E	Fokal segmental glomeruloskleroz	11	5	0
23	58	E	Kronik böbrek yetmezliği	20	22	0
24	10	E	Kronik böbrek yetmezliği	66	42	0
25	20	E	Ailesel akdeniz ateşi - Amiloidoz	3	13	2
26	29	K	Kronik böbrek yetmezliği	76	28	11
27	22	K	Ailesel akdeniz ateşi - Amiloidoz	94	25	4
28	51	E	Kronik böbrek yetmezliği	152	19	1
29	67	E	Kronik böbrek yetmezliği	16	16	7
30	54	E	IgA nefropatisi	20	12	0
31	28	E	Kronik böbrek yetmezliği	27	21	0
32	53	K	Kronik böbrek yetmezliği	10	25	0
33	61	K	Kronik böbrek yetmezliği	30	23	0
34	48	E	Kronik böbrek yetmezliği	40	23	0
35	76	K	Kronik böbrek yetmezliği	3	25	6
36	66	K	Diabetik nefropati-KBY	28	15	5
37	55	E	Kronik böbrek yetmezliği	10	8	0
38	14	K	Hemolitik üremik sendrom	39	28	0
39	67	K	Hipertansif nefroscleroz	6	20	5
40	51	K	Polikistik böbrek hastalığı	66	41	4
41	75	E	Kronik böbrek yetmezliği	56	15	0
42	65	E	Polikistik böbrek hastalığı	111	20	0

Tablo 10: HGV olumlu hastaların özellikleri

Hasta no	HGV RNA	AHCV	HbsAg	ALT* (IU/ml)	Kan aktarım miktarı (ünite)	Hemodiyaliz süresi (ay)
DEÜ2	+	-	-	25	34	21
DEÜ11	+	+	-	84	3	15
DEÜ24	+	+	+	79	-	66
DEÜ32	+	-	-	34	-	10
DEÜ42	+	-	-	20	-	111

* Son bir yıl içerisindeki ALT tepe değerleri gösterilmektedir.

Tablo 11: Hemodiyaliz hastalarının genel özellikleri

Yaş (yıl)	54 ± 18
Cinsiyet (erkek)	23 (%55)
Hemodiyaliz sağaltım süresi (ay)	35 ± 35
Kan aktarımı alan hasta sayısı (%)	17 (%40)
Kan aktarım miktarı (ünite)	2.6 ± 5.8
Cerrahi operasyon öyküsü	20 (%48)

	-331	-228
U59520	CCGGGCACGGGCCACAGGTTGGCTTACCGGTGGAAATAAGGGCCGACGTCAAGCTAACCTGGCCGTACCCACCTGGGAAACGACGCCA	
DEÜ2T.....	C.....A.....
DEÜ11T.....	G.....C.....A.....
DEÜ24T.....
DEÜ32T.....	CA.....A.....
DEÜ42T.....	T.....TC.....G.....T.....
HEMSİREG.....TG.....G.....
DEÜderTG.....	A.....T.....

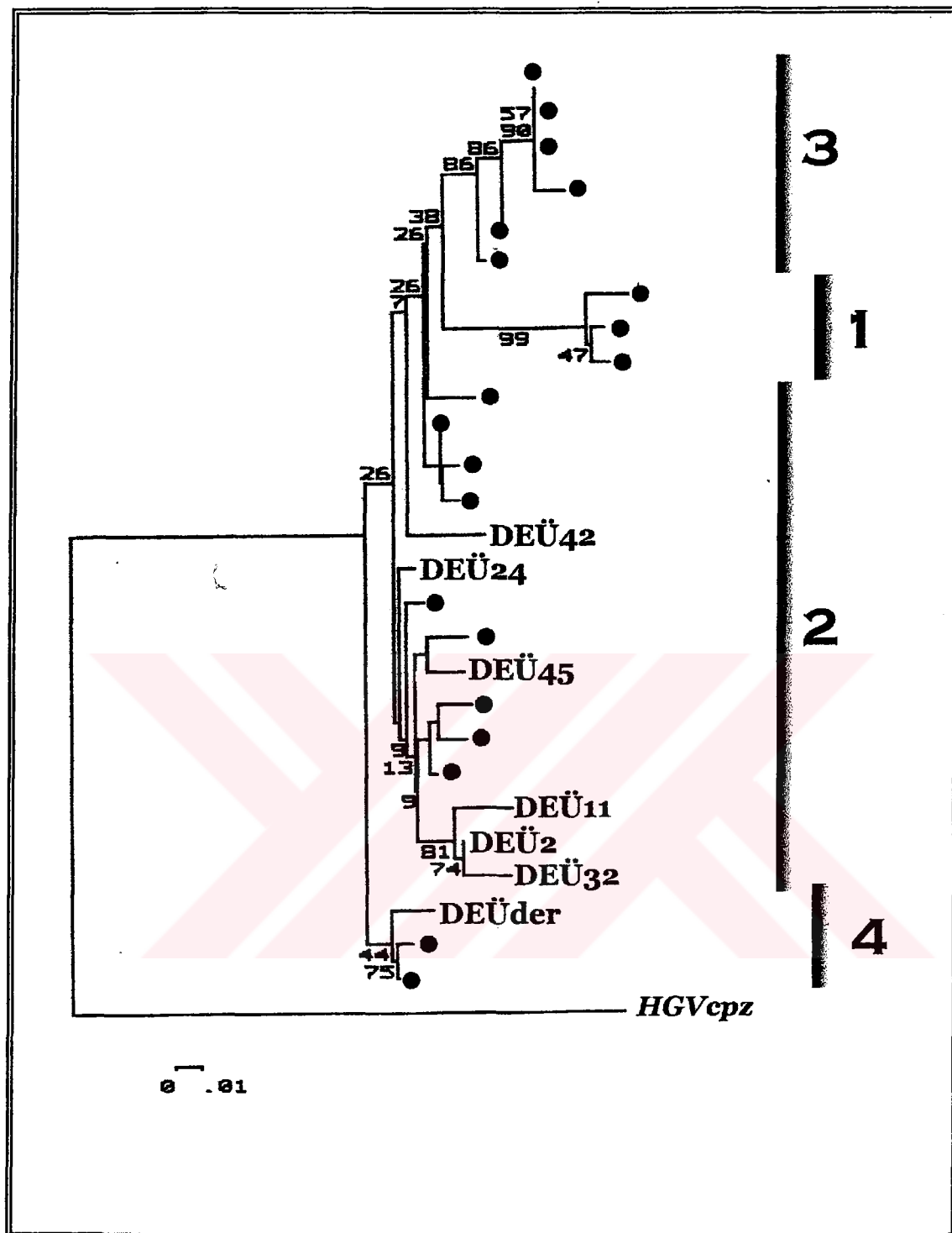
	-227	-128
U59520	CGTATGGTCCACGTCGCCCTTCATTGCCCTCTTGGCCAATAGGTTT	CGGGCGAGTTGACAAGGACCACTGGGGGCCGGGGTT-CGGGGAAAGGA
DEÜ2C.....	GA.....TGTAC.....A.....TT.....
DEÜ11C.....	GA.....TAGTAC.....A.....A.....T.....C
DEÜ24C.....T-T.....A.....A.....A.....A.....
DEÜ32C.....	GA.....AGTAC.....G.....T.....AA.....TT.....
DEÜ42C.....T.....A.....G.....A.....CA.....GAT.....
HEMSİREC.....	AT.....AT.....G.....T.....G.....GT.....CA.....A.....G.....A.....
DEÜderC.....A.....T.....

Sekil 4: İzolatların hizalanmış nükleotid dizileri.

Numaralandırma, HGV-C ORF başlangıç kodonuna göre yapılmış ve 5'-NCR bölgesi negatif sayılarla tamamlanmıştır (23).

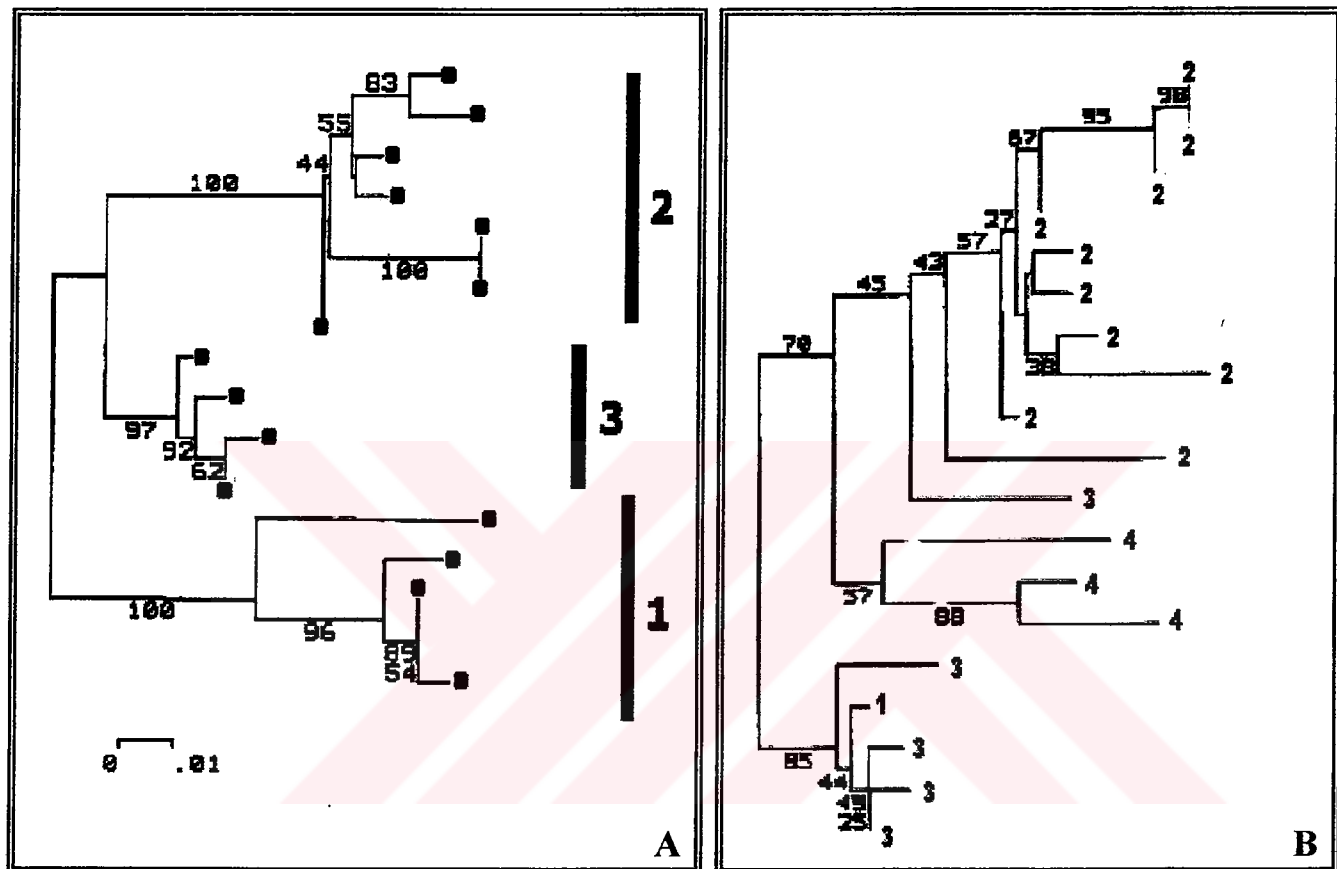
Kodu alan DEÜ2, DEÜ11 VE DEÜ32 numaralı izolatlarında saptanan inserisyon bölgesini göstermektedir.

U59520, HGV grup2 izolatıdır (23).



Sekil 5: HGV 5'- NCR dizilerinin filogenetik analizi

Bootstrap değerleri MEGA version 1.02 ile elde edilmiştir Ağaçtaki sayılar bootstrap değerlerini göstermektedir (örneklemme sayısı 500). Dallar üzerindeki içi dolu daireler GenBank' den alınmış ve daha önce filogenetik grupları belirlenmiş olan izolatları göstermektedir.



Şekil 6: 1997 ve 2000 yılında tanımlanan izolatlarla oluşturulmuş ağaçlar

A-1997 yılında tanımlanmış dizilerle oluşturulmuş ağaçta grupların yüksek bootstrap değerleri ile ayrıntıları B-2000 yılında saptanan izolatların eklenmesi ile bootstrap değerlerinin düşüğü ve gruplar içerisinde farklı gruptan izolatların yer aldığı gözlandı.

Tablo 12: HGV 5'-NCR dizilerinin filogenetik uzaklıkları (distance)*

	DEÜ 2	DEÜ 11	DEÜ 24	DEÜ 32	DEÜ 42	Hemşire	DEÜ der	U59546 Grup 1	U59522 Grup 2
DEÜ2	-	0.0352	0.0511	0.0493	0.1202	0.0798	0.1197	0.1491	0.0575
DEÜ 11	-	-	0.0784	0.0730	0.1379	0.0796	0.1372	0.1552	0.0857
DEÜ 24	-	-	-	0.0848	0.0961	0.0464	0.0792	0.1289	0.0408
DEÜ 32	-	-	-	-	0.1396	0.1160	0.1449	0.1767	0.0914
DEÜ 42	-	-	-	-	-	0.1203	0.1141	0.1358	0.0737
Hemşire	-	-	-	-	-	-	0.0857	0.1488	0.0628
Kontrol	-	-	-	-	-	-	-	0.1365	0.0734
U59546(1)	-	-	-	-	-	-	-	-	0.1046
U59522 (2)	-	-	-	-	-	-	-	-	-

*Değerler Phylipl DNADist programı ile elde edilmiştir. Yakın izolatların evrimsel uzaklık değerleri koyu yazılmıştır.

7 TARTIŞMA

HGV tüm dünyada yaygın infeksiyonlara neden olan bir virustur. Sağlıklı bireylerde HGV-RNA görülme sıklığı % 1-4 arasında değişmektedir (1). Ülkemizde sağlıklı bireylerde yapılan çalışmalarda, Öztürk ve ark., % 0,5 (72), Günaydin ve ark., ise %3,4 (73) HGV-RNA oranları bildirmiştirlerdir. Çalışmamızda yer alan 158 kişilik kontrol grubunda %1,2 HGV-RNA saptanmıştır. Bu oran daha önceki çalışmalarda elde edilen sonuçlarla benzeşmektedir.

Hemodiyaliz hastaları, HGV infeksiyonları açısından sağlıklı popülasyona göre daha yüksek risk taşımaktadırlar. Hemodiyaliz hastalarında HGV-RNA saptanma oranları ülkeye değişmektedir, bu oran %3-29 arasında bildirilmiştir (5,26,29,30,43,83,84). Ülkemizde, 67 KBY olgusunda %31,3 (72), 14 renal transplant alıcısında %42 (88), 42 hemodiyaliz hastasında %7,1 (96) ve 78 hemodiyaliz hastasında %34,6 oranında HGV-RNA saptanmıştır (73). Yaptığımız çalışmada hemodiyaliz sağaltımı alan 42 hastanın %12' sinde HGV-RNA saptanmıştır. Hemodiyaliz üniteleri arasında %7,1 ile %34,6 gibi oldukça farklı viremi oranları, evrensel infeksiyon kontrol kurallarına uyulup uyulmaması ile ilişkili olabileceği gibi PCR duyarlılıklarıyla da ilişkili olabilir.

Sağlık personelinde, parenteral yolla bulaşan infeksiyonlara sağlıklı popülasyona göre daha yüksek oranlarda rastlanmaktadır (98). Hemodiyaliz ünitesinde görevli 17 sağlık çalışanından birinde (%5,8) HGV-RNA saptanmıştır.

HGV 5'-NCR dizilerinin filogenetik analizi sonucunda hemodiyaliz hastalarından elde edilen izolatlarının tümü HGV grup 2 içerisinde yer almıştır. Grup 2, özellikle Avrupa ve ABD' de saptanmaktadır. Daha önce Erensoy ve ark., (88) tarafından Ege Üniversitesi' nde, transplant olgularında yapılan bir çalışmada, tüm HGV izolatları grup 2 olarak bulunmuştur. Erensoy ve ark.' nın çalışmaları ile çalışmamız birbirlerini desteklemektedir. Bu iki çalışmada da, tüm olgularda HGV grup 2 infeksiyonlarının saptanmış olması, ülkemizde baskın genotipin HGV grup 2 olabileceğini düşündürmektedir.

Hemodiyaliz hastalarından elde edilen DEÜ2, DEÜ11 ve DEÜ32 no'lu izolatlar grup içinde özel bir kümeleşme göstermiştir. Bu bulgu hastaların ortak bir kaynaktan infeksiyonu alabileceklerini ve infeksiyonların nozokomiyal olabileceğini düşündürmektedir.

Kontamine kan ve kan ürünlerinin aktarımı HGV açısından en önemli bulaş yollarından biridir (76-79). Fakat, HGV DEÜ32' ye hiç kan aktarımı yapılmamış, DEÜ2 ve DEÜ11 ise farklı kan grubu抗原leri taşıdıkları için aynı kaynaktan ortak kan almamışlardır. Bu nedenle, kan aktarımına bağlı bir bulaş söz konusu değildir. Hastalarda, heparin ya da pihtılaşma faktörleri kullanımı gibi bulaşa neden olabilecek başka bir neden de saptanmamıştır.

Yetersiz dezenfeksiyon nedeni ile hemodiyaliz cihazlarının nozokomiyal HCV bulaşında rol oynayabileceği belirtilmiştir (102). DEÜ11 ile DEÜ2 ve DEÜ11 ile DEÜ32 aynı seansda ve bitişik hemodiyaliz cihazlarında sağıltım almış fakat DEÜ2 ve DEÜ32 aynı seansda hemodiyaliz almamıştır. Buna karşın, üç hasta da aynı cihazda ardışık seanslarda sağıltım almışlardır. Hemodiyaliz cihazları, her gece dezenfekte edilmektedir fakat sabah ve öğle seansları arasında dezenfeksiyon yapılamamaktadır. Bu nedenle birbirleri ile filogenetik olarak ilişkili bu üç izolatın bulaşında, hemodiyaliz cihazlarının rol oynayabileceğini düşünmekteyiz. Abacıoğlu ve ark.,' nın (100) hemodiyaliz hastalarında yaptıkları çalışmada, HCV nozokomiyal bulaşı moleküler olarak gösterilmiştir. Evrensel infeksiyon kontrol kurallarının tam olarak uygulanmaması, iki seans arasında dekontaminasyon yapılmaması gibi nedenlerin bulaştan sorumlu olabileceği belirtilmiştir.

Her üç isolatta da -180, -177 nükleotid pozisyonlarında diğer isolatlarda pek rastlanmayan dört bazlık bir insersiyon alanına rastlanmıştır (Şekil 4,7). 5'-NCR -182. -174. pozisyonlar arasında kalan alanın bir çok isolatta farklı olması, bu alanın değişken ve bu bölgedeki mutasyonların ise HGV için tolere edilebilir olduğunu düşündürmektedir.

PCR' daki en önemli sorunlardan biri hatalı olumlu sonuçlardır (103). Bunlar sıklıkla PCR uygulamaları sırasında oluşan kontaminasyonlara bağlıdır. Dolayısıyla bu üç hastanın örnekleri arasında çapraz kontaminasyon olabileceği düşünülebilir. Ancak, DEÜ32' nin DEÜ2 ve DEÜ11' den farklı günlerde çalışılmış olması, PCR reaksiyonlarında kullanılan çift negatif kontrolün sürekli negatif olması, negatif bulunan çok sayıda örneğin bulunması, diziler arasında en az 0.0352 kadar farklılık olması, farklı zamanlarda sonuçların yinelenecek kontrol edilmesi ve kontaminasyonu engellemek için tanımlanmış olan kurallara uyulması nedeni ile alınan sonuçların kontaminasyona bağlı olmadığını düşünmektedir (103).

HGV 5'-NCR -328 nükleotid pozisyonu 1997 yılında saptanmış, tüm grup 2 izolatlarında sitozin, grup 1 ve grup 3 izolatlarında ise genellikle adenin ya da nadiren guanin olarak gözlemlenmiştir ve bu nükleotid pozisyonunun, izolatların çoğunda grup tanımlayıcı bir özellik gösterdiği söylenebilir. Buna karşın yeni saptanan izolatlarda özellikle grup 4 içerisinde de aynı nükleotid pozisyonunda sitozin saptanabilmektedir. Benzer değişimler nedeni ile daha önce yüksek duyarlılıkla grup saptayabilen RFLP uygulamalarının yeniden gözden geçirilmesinin gerekli olduğunu düşünmektedir.

207-**-159**

U59538-3	AATGTCTCTCTTGACCAATAGGCTTG----CCGGCGAGTTGACAAGGA
D87253-3	AATGTCTCTCTTGACCAATAGGTTTG----CCGGCGAGTTGACAAGGA
U59539-3	AATGTCTCTCTTGACCAATAGGCTTG----CCGGCGAGTTGACAAGGA
U59546-1	AATGTCTCTCTTGACCAATAGGCTATG----CCGGCGAGTTGACAAGGG
U59544-1	AATGTCTCTCTTGACCAATAGGCAATG----CCGGCGAGTTGACAAGGG
U59543-1	AATGTCTCTCTTGACCAATAGGCAATG----CCGGCGAGTTGACAAGGG
DEÜ24	AATGCCTCTCTTGGCCAATAGGATT---TCCGGCGAGTTGACAAGGA
Hemşire	AATGCCTCTCTTGGCCAATAGGTTTT--C-CCGGCGAGTTGGCAAGGA
DEÜ2	AATGCCTCTCTTGGCCAATAGGGATTAGTACCCGGCGAGTTGACAAGGA
DEÜ32	AATGCCTCTCTTGGCCAATAGGGATAAGTACCCGGGGATTGACAAGGA
DEÜ11	AGTGCCTCTCTTGGCCAATAGGGATTAGTACCCGGCGAGTTGGCAAGGG
U59522-2	AATGCCTCTCTTGGCCAATAGGTTAT----CCGGCGAGTTGACAAGGA
DEÜ42	AATGTCTCTCTTGACCAATAGGTAAC--A-CCGGCGAGTTGGCAAGGA
DEÜderm	AATATCTCTCTTGATCAATAGGATT---CCGGCGAGTTGACAAGGA

Şekil 7: İnsersiyon alanı

DEÜ2, DEÜ11, DEÜ32 no'lu izolatlarda 5'-NCR -180, -177 nükleotid pozisyonlarında saptanan olası insersiyon alanı (koyu harflerle gösterilmiştir).

8 SONUÇ ve ÖNERİLER

- 1- 5'- NCR filogenetik gruplandırmalar için uygun değildir, ancak bu çalışmada görüldüğü gibi moleküler epidemiyoloji açısından yararlı bilgiler sağlayabilir.
- 2- Hemodiyaliz hastaları HGV infeksiyonları için riskli bir gruptur.
- 3- HGV ve benzer yolla bulaşabilecek tüm infeksiyonlardan korunma amacıyla hemodiyaliz merkezinde evrensel infeksiyon kontrol kurallarının daha iyi uygulanması sağlanmalıdır.

9 KAYNAKLAR

1. Alter H. J., Nakatsuji Y., Melpolder J., Wages J., Wesley R., Shih W. K., Kim J. P. The incidence of transfusion associated hepatitis G virus infection and its relation to liver disease. *New England Journal of Medicine* 1997;336:747-54
2. Simons J. N., Leary T. P., Dawson G. J., Pilot matias T. J., Muerhoff A. S., Schlauder G. G., Desai S. M., Mushahwar K. I. Isolation of novel virus-like sequences associated with human hepatitis. *Nature Medicine* 1995;1:564-9
3. Linnen J., Wages J., Zhang-Keck Z.Y., Fry K. E., Krawczynski K. Z., Alter H., Koonin E., Gallagher M., Alter M., Hadziyannis S., Karayiannis P., Fung K., Nakatsuji Y., Shih J. W-K., Young L., Piatak M., Hoover C., Fernandez J., Chen S., Zou J-C., Morris T., Hyams K. C., Ismay S., Lifson J. D., Hess G., Fuong S. K. H., Thomas H., Bradley D., Margolis H., Kim J. P. Molecular cloning and disease association of hepatitis G virus: a transfusion-transmissible agent. *Science* 1996;271:505-8.
4. Tacke M., Kiyosawa K., Stark K., Schlueter V., Ofenloch-Haehnle B., Hess G., Engel A. M. Detection of antibodies to a putative hepatitis G virus envelope protein. *Lancet* 1997;349:318-20
5. Masuko K., Mitsui T., Iwano K., Yamazaki C., Okuda K., Meguro T., Murayama N., Inoue T., Tsuda F., Okamoto H., Miyakawa Y., Mayumi M. Infection with hepatitis GB virus C in patients on maintenance hemodialysis. *New England Journal of Medicine* 1996;23:1485-90
6. Simons J.N., Pilot-Matias T.J., Leary T.P., Dawson G. J., Desai S. M., Schlauder G. G., Muerhoff A. S., Erker J. C., Buijk S. L., Chalmers M. L., Van Sant C. L., Mushahwar I. H. Identification of two flavivirus-like genomes in the GB hepatitis agent. *Proceedings of the National Academy of Sciences of the United States of America* 1995;92:3401-5.
7. Zuckerman A. J. The new GB hepatitis viruses. *Lancet* 1995;345:1453-4

8. Zuckerman A. J. Alphabet of hepatitis viruses. *Lancet* 1996;347:558-559
9. Badur S. Yeni viral hepatit etkenleri: GB virusları ve HGV. *Aktüel Tıp Dergisi* 1997;3:186-7
10. Schlauder G. G., Dawson G. J., Simons J. N., Pilot-Matias T. J., Gutierrez R. A., Heynen C. A., Knigge M. F., Kurpiewski G. S., Buijk S. D., Leary T. P., Muerhoff A. S., Desai S. M., Mushahwar I. K. Molecular and serologic analysis in the transmission of the GB hepatitis agents. *Journal of Medical Virology* 1995;46:81-90
11. Muerhoff A. S., Leary T. P., Simons J. N., Pilot-Matias T. J., Dawson G. J., Erker J. C., Chalmers M. L., Schlauder G. G., Desai S. M., Mushahvar I. K. Genomic organization of GB viruses A and B: two new members of the flaviviridae associated with GB agent hepatitis. *Journal of Virology* 1995;69:5621:30
12. Xiang J., Klinzman D., Mc Linden J., Schmidt W. N., LaBrecque D. R., Gish R., Stapleton J.T. Characterization of Hepatitis G Virus (GB-C Virus) particles: evidence for a nucleocapsid and expression of sequences upstream of the E1 protein. *Journal of Virology* 1998;72:2738-44
13. Dille B. J., Surowy T. K., Gutierrez R. A., Coleman P. F., Knigge M. F., Carrick R. J., Aach R. D., Hollinger F. B., Stevens C. E., Barbosa L. H., Nemo G. J., Mosley J. W., Dawson G. J., Mushahwar I. K. An elisa for detection of antibodies to the E2 protein of GB Virus C. *Journal of Infectious Diseases*. 1997;175:458-61
14. Simons J. N., Desai S. M., Schultz D. E., Lemon S. M., Mushahwar I. K. Translation initiation in GB viruses A and C: evidence for internal ribosome entry and implications for genome organisation. *Journal of Virology* 1996;80:6126-35
15. Leyssen P., Clercq E. D., Neyts J. Perspectives for the treatment of infections with *Flaviviridae*. *Clinical Microbiology Reviews* 2000;13:67-82
16. Hijikata M., Shimizu Y. K., Kato H., Iwamoto A., Shih J. W., Alter H. J., Purcell R. H., Yoshikura H. Equilibrium centrifugation studies of hepatitis C virus: evidence for circulating immune complexes. *Journal of Virology* 1993;67:1953-58

17. Belyaev A. S., Chong S., Novikov A., Kongpachith A., Masiarz F. R., Lim M., Kim J.P. Hepatitis G Virus encodes protease activities which can effect processing of the virus putative nonstructural proteins. *Journal of Virology* 1998;72:868-72
18. Gwack Y., Yoo H., Song I., Choe J., Han J. H. RNA-stimulated ATPase and RNA helicase activities and RNA binding domain of hepatitis G virus nonstructural protein 3. *Journal of Virology* 1999;73:2909-15
19. Pavesi A. Detection of signature sequences in overlapping genes and prediction of a novel overlapping gene in hepatitis G virus. *Journal of Molecular Evolution* 2000;50:284-95
20. Smith D. B., Basaras M., Frost S., Haydon D., Cuceanu N., Prescott L., Kamenka C., Millband D., Sathar M. A., Simmonds P. Phylogenetic analysis of GBV-C/ hepatitis G virus. *Journal of General Virology* 2000;81:2329-35
21. Khudyakov Y. E., Cong M., Bonafonte M. T., Abdulmalek S., Nicholas B. L., Lambert S., Alter M. J., Fields H. A. Sequence variation within a nonstructural region of the hepatitis G virus genome. *Journal of Virology* 1997;71: 6875-80
22. Giménez-Barcons M., Ibáñez A., Tajahuerce A., Sánchez-Tapias J-M., Rodés J., Martínez M-A., Saiz J-C. Genetic evolution of hepatitis G virus in chronically infected individual patients. *Journal of General Virology* 1998;79:2623-9
23. Smith D. B., Cuceanu N., Davidson F., Jarvis L. M., Mokili J., Hamid S., Ludlam C., Simmonds P. Discrimination of hepatitis G virus / GBV-C geographical variants by analysis of the 5'-non-coding region. *Journal of General Virology* 1997;78:321-8
24. Charrel R. N., DeMicco P., Lamballerie X., Phylogenetic analysis of GB viruses A and C: evidence for cospeciation between virus isolates and their primate hosts. *Journal of General Virology*. 1999;80:2329-35
25. Simmonds P., Smith D. B. Structural constraints on RNA virus evolution. *Journal of Virology* 1999;73:5787-94
26. Pujol F. H., Khudyakov Y. E., Devesa M., Cong M-E., Loureiro C. L., Blitz L., Capriles F., Beker S., Liprandi F., Fields H. A. Hepatitis G virus infection in Amerindians and other Venezuelan high-risk groups. *Journal of Clinical Microbiology* 1998;36:470-4

27. Konomi N., Miyoshi C., Zerain C. L. F., Li T-C., Arakawa Y., Abe K. Epidemiology of hepatitis B, C, E, and G virus infections and molecular analysis of hepatitis G virus isolates in Bolivia. *Journal of Clinical Microbiology* 1999;37:3291-5
28. Muerhoff A. S., Smith D. B., Leary T. P., Erker J. C., Desai S. M., Mushahwar I. K. Identification of GB virus C variants by phylogenetic analysis of 5'-untranslated and coding region sequences. *Journal of Virology* 1997;71:6501-8
29. Handajani R., Soetjipto., Lusida M. I., Suryohudoyo P., Adi P., Setiawan P. B., Nidom C. A., Soemarto R., Katayama Y., Fujii M., Hotta H. Prevalence of GB virus C/hepatitis G virus infection among various populations in Surabaya, Indonesia, and identification of novel groups of sequence variants. *Journal of Clinical Microbiology* 2000;38:662-8
30. Kao H. J., Chan P-J., Hsiang S. J., Chan W., Chan D. S. Phylogenetic analysis of GB virus C: comparison of isolates from Africa, North America and Taiwan. *Journal of Infectious Diseases* 1996;174:410-3
31. Naito H., Win K. M., Abe K. Identification of a novel genotype of hepatitis G virus in southeast Asia. *Journal of Clinical Microbiology* 1999;37:1217-20
32. Quarleri J. F., Mathet V. L., Feld M., Ferrario D., Della Latta M. P., Verdun R., Sanchez D. O., Oubina J. R. GB virus C/hepatitis G virus groups and subgroups: classification by a restriction fragment lenght polymorphism method based on phylogenetic analysis of the 5'-untranslated region. *Journal of Clinical Microbiology* 1999;37:1340-7
33. Fogeda M., Lopez-Alcorocho J. M., Bartolome J., Arocena C., Martin M. A., Carreno V. Existence of distinct GB virus C/hepatitis G virus variants with different tropism. *Journal of Virology* 2000;74:7936-42
34. Heringlake S., Osterkamp S., Trautwein C., Tillmann H. L., Böker K., Muerhoff S., Mushahwar I. K., Hunsmann G., Manns M. P. Association between fulminant hepatic failure and a strain of GBV Virus C. *Lancet* 1996;348:1626-9
35. Fogeda M., Navas S., Martin J., Casqueiro M., Rodriguez E., Arocena C., Carreno V. In vitro infection of human peripheral blood mononuclear cells by GB Virus C/ hepatitis G virus. *Journal of Virology* 1999;73:4052-61

36. Fiordalisi G., Zanella I., Mantero G., Bettinardi A., Stellini R., Paraninfo G., Cadeo G., Primi D. High prevalence of GB virus C infection in a group of Italian patients with hepatitis of unknown etiology. *Journal of Infectious Diseases* 1996;174:181-3
37. Laskus T., Radkowski M., Wang L. F., Vargas H., Rakela J. Lack of evidence for hepatitis G virus replication in livers of patients coinfected with hepatitis C and G viruses. *Journal of Virology* 1997;71:7804-6
38. Laskus T., Wang L. F., Radkowski M., Jang S. J., Vargas H., Dodson F., Fung J., Rakela J. Hepatitis G Virus infection in American patients with cryptogenic cirrhosis: no evidence for liver replication. *Journal of Infectious Diseases* 1997;176:1491-5
39. Laskus T., Radkowski M., Wang L. F., Vargas H., Rakela J. Detection of hepatitis G virus replication sites by using highly strand-specific Tth-based reverse transcriptase PCR. *Journal of Virology* 1998;72:3072-75
40. Hsieh S., Yang P., Chen H., Liaw Y. Cloning and characterization of the extreme 5'-terminal sequences of the RNA genomes of GB Virus C/hepatitis G virus. *Proceedings of the National Academy of Sciences of the United States of America* 1997;94:3206-10
41. Xiang J., Wünschmann S., Schmidt W., Shao J., Stapleton J. Full-length GB virus C (hepatitis G virus) RNA transcripts are infectious in primary CD4-positive T cells. *Journal of Virology* 2000;74:9125-33
42. Shimizu Y. K., Hijikata M., Kiyohara T., Kitamura Y., Yoshikura H. Replication of GB virus C (hepatitis G virus) in interferon-resistant daudi cells. *Journal of Virology* 1999;73:8411-4
43. Tribl B., Oesterreicher C., Pohanka E., Sunder-Plassmann G., Petermann D., Müller C. GBV-C/HGV in hemodialysis patients: anti-E2 antibodies and GBV-C/HGV-RNA in serum and peripheral blood mononuclear cells. *Kidney International*. 1998;53:212-6
44. Pessoa M. G., Terrault N. A., Detmer J., Kolberg J., Collins M., Hassobal H. M., Wright T. L. Quantitation of hepatitis G and C viruses in the liver: evidence that hepatitis G virus is not hepatotropic. *Hepatology* 1998;27:877-80

45. Alter M. J., Gallagher M., Morris T. T., Moyer L. A., Meeks E. L., Krawczynski K., Kim J. P., Margolis H. S. Acute non A-E hepatitis in the United States and the role of hepatitis G virus infection. *New England Journal of Medicine* 1997;11:741-6
46. Alter H. J. The Cloning and clinical implications of HGV and HGBV-C . *New England Journal of Medicine* 1996;23;1536-7
47. Thomas D., Vlahov D., Alter H. J., Hunt J. C., Marshall R., Astemborski J., Nelson K. E. Association of antibody to GB Virus C (Hepatitis G Virus) with viral clearance and protection from reinfection. *Journal of Infectious Diseases* 1998;177:539-42
48. Bukh J., Kim J. P., Govindarajan S., Apgar C. L., Foung S. K. H., Wages J., Yun A. J., Shapiro M., Emerson S. U., Purcell R. H. Experimental infection of chimpanzees with hepatitis G virus and genetic analysis of the virus. *Journal of Infectious Diseases* 1998;177:855-62
49. Nakatsuji Y., Shih J. W. K., Tanaka E., Kiyosawa K., Wages J. R., Kim J. P., Alter H. J. Prevalence and disease association of hepatitis G virus infection in Japan. *Journal of Viral Hepatitis* 1996;3:307-16
50. Hwang S. J., Lu R. H., Chan C. Y., Wang Y. J., Wu J. C., Lee S. D. The role of hepatitis G virus infection in patients with acute posttransfusion hepatitis in Taiwan. *Gastroenterology* 1997;112:1260-4
51. Kao J. H., Chen P-J., Lai M. Y., Chen W., Liu D. P., Wang J. T., Shen M. C., Chen D. S. GB virus C / hepatitis G virus infection in an area endemic for viral hepatitis chronic liver disease, and liver cancer. *Gastroenterology* 1997;112:1265-70
52. Kanda T., Yokosuka O., Imazeki F., Tagawa M., Ehata T., Saisho H., Omata M. GB virus-C RNA in Japanese patients with hepatocellular carcinoma and cirrhosis. *Journal of Hepatology* 1997;27:464-69
53. Yoshioka M., Okamoto H., Mishiro S. Detection of the GBV-C hepatitis virus genome in serum from patients with fulminant hepatitis of unknown aetiology. *Lancet* 1995;346:1131-1132

54. Halasz R., Barkholt L., Lara C., Hultgren C., Ando Y., Broomé U., Fischler B., Nemeth A., Ericzon B-G., Sönneborg A., Sällberg M. Relation between GB virus C / hepatitis G virus and fulmiant hepatic failure may be secondary to treatment with contaminated blood and / or blood products. Gut 1999;44:274-8
55. Tanaka E., Tacke M., Kobayashi M., Nakatsuji Y., Kiyosawa K., Schmolke S., Engel A. M., Hess G., Alter H. J. Past and present hepatitis G virus infections in areas where Hepatitis C is highly endemic and those where it is not endemic. Journal of Clinical Microbiology 1998;36:110-4
56. Brechot C., Jafedo F., Lagorce D., Gerken G., Meyer zum Buschenfelde K., Papakonstantinou A., Hadzyannis S., Romeo R., Colombo M., Rodes J., Bruix J., Williams R., Naumov N. Impact of HBV, HCV, GBV-C, on hepatocellular carcinomas in Europe: results of European concerted action. Journal of Hepatology 1998;29:173-83
57. Tan D., Matsumoto A., Conry-Centillena C., Melpolder J. C., Shih J. W. K., Leuther M., Hess G., Gibble J. W., Ness P. M., Alter H. J. Analysis of hepatitis G virus RNA, antibody to HGV envelope protein, and risk factors for blood donors coinfected with HGV and hepatitis C virus. Journal of Infectious Diseases 1999;179:1055-61
58. Surowy T., Leary T. P., Carrick R. J., Knigge M. F., Pilot-Matias T. J., Heynen C., Gutierrez R. A., Desai S. M., Dawson G. J., Mushahwar I. K. GB virus C E2 glycoprotein: expression in CHO cells, purification and characterization. Journal of General Virology 1997;78:1851-9
59. Toniutto P., Fabris C., Barbone F., Tisminetzky S. G., Liani D., Galai T., Barillari C., Biffoni F., Gasparini V., Pirisi M. Immunoreactivity to putative B-cell epitopes of hepatitis G virus polyprotein in viremic and nonviremic subjects. Clinical and Diagnostic Laboratory Immunology 1999;6:573-6
60. Schmolke S., Tacke M., Schmitt U., Engel A. M., Haehnle B. O. Identification of hepatitis G virus particles in human serum by E2-specific monoclonal antibodies generated by DNA immunization. Journal of Virology 1998;72:4541-5

61. Feucht H-H., Zöllner B., Polywka S., Knödler B., Schröter M., Nolte H., Laufs R. Prevalence of hepatitis G viremia among healthy subjects, individuals with liver disease, and persons at risk for parenteral transmission. *Journal of Clinical Microbiology* 1997;35:767-8
62. Andonov A., Sauder C., Jacopsen H., Chaudhary R. Comparison of six sets of PCR primers from two different genomic regions for amplification of GB Virus C / hepatitis G virus RNA. *Journal of Clinical Microbiology* 1998;36:286-9
63. Forns X., Tan D., Alter H. J., Purcell R. H., Bukh J. Evaluation commercially available and in-house reverse transcription-PCR assays for detection of hepatitis G virus or GB virus C. *Journal of Clinical Microbiology* 1997;35:2698-702
64. Adams N. J., Prescott L. E., Jarvis L. M., Lewis J. C. M., McClure M. O., Smith D. B., and Simmonds P. Detection in chimpanzees of novel flavivirus related to GB Virus-C/ Hepatitis G Virus. *Journal of General Virology* 1998;79:1871-7
65. Thomas D., Nakatsuji Y., Shih J. W., Alter H.J., Nelson K. E., Astemborski J. A. Lyles C. M., Vlahov D. Persistence and clinical significance of hepatitis G virus infections in injecting drug users. *Journal of Infectious Diseases* 1997;176:586-92
66. Bhardwaj B., Qian K., Detmer J., Mizokami M., Kolberg J. A., Urdea M. S., Schlauder G., Linnen J. M., Kim J. P., Davis G. L., Lau J. Y. N. Detection of GB virus-C/ hepatitis G virus RNA in serum by revers transcription polymerase chain reaction. *Journal of Medical Virology* 1997;52:92-6
67. Chu C-M., Yeh C-T., Liaw Y-F. Viral superinfection in previously unrecognized chronic carriers of hepatitis B virus with superimposed acute fulminant versus nonfulminant hepatitis. *Journal of Clinical Microbiology* 1999;37:235-7
68. Chen M., Fischler B., Hultgren C., Halasz R., Nemeth A., Sällberg M. Analysis of GB virus C markers in families over three generations. *Journal of Clinical Microbiology*. 1999;37:4153-5
69. Nordbø S. A., Krokstad S., Winge P., Skjeldestad F. E., Dalen A. B. Prevalance of GB virus C (also called hepatitis G virus) markers in Norwegian blood donors. *Journal of Clinical Micobiology* 2000;38:2584-90

70. Brown K. E., Wong S., Buu M., Binh T. V., Be T. V., Young N. H. High prevalence of GB virus C/hepatitis G virus in healthy persons in Hoi Chi Min City, Vietnam. *Journal of Infectious Diseases* 1997;175:450-3
71. Feucht H-H., Schröter M., Zöllner B., Polywka S., Laufs R. Age-dependent acquisition of hepatitis G virus/GB virus C in a nonrisk population: detection of the virus by antibodies. *Journal of Clinical Microbiology* 1999;37:1294-7
72. Öztürk N., Mistik R., Dilek K., Heper Y., Yurtkuran M., Töre O. Sağlıklı kişilerde ve kronik böbrek yetmezlikli hastalarda HGV-RNA prevalansı. Birinci Ulusal ve Tanışsal Mikrobiyoloji Kongresi, 2000 Kapadokya. Özeti Kitabı 33 (A15)
73. Gunaydin M., Bedir A., Akpolat T., Kuku I., Pekbay A., Esen S., Özyıldan E., Arik N., Cengiz K. Prevalance of serum HGV-RNA among hemodialysis patients in Turkey. *Infection* 1997;25:5-7
74. Semprini A. E., Persico T., Thiers V., Oneta M., Tuveri R., Serafini P., Boschini A., Quintelli S., Pardi G., Brechot C. Absence of hepatitis C virus and detection of hepatitis G virus / GB virus C RNA sequences in the semen of infected men. *Journal of Infectious Diseases* 1998;177:848-54
75. Chen M., Sönnnerborg A., Johansson B., Sällberg M. Detection of hepatitis G virus (GB virus C) RNA in human saliva. *Journal of Clinical Microbiology* 1997;35:973-5
76. Jarvis L. M., Davidson F., Hanley J. P., Yap P. L., Ludlam C. A., Simmonds P. Infection with hepatitis G virus among recipients of plasma products. *Lancet* 1996;348:1352-5
77. Lara C., Halasz R., Sönnnerborg A., Sällberg M. Detection of hepatitis G virus RNA in persons with and without known risk factors for blood-borne viral infections in Sweden and Honduras. *Journal of Clinical Microbiology* 1998;36:255-7
78. Morris A., Webster A.D.B., Brown D., Harrison T. J., Dusheiko G. GB virus C infection in patients with primary antibody deficiency. *Journal of Infectious Diseases* 1998;177:1719-22
79. Lefrère J. J., Ravera N., Corbi C., Mariotti M., Loiseau P. Infection with hepatitis G virus in immunoglobulin recipients. *Lancet* 1997;349:206

80. Schlueter V., Schmolke S., Stark K., Hess G., Offenloch-Haehnle B., Engel A. M. Reverse transcription-PCR detection of Hepatitis G Virus. *Journal of Clinical Microbiology* 1996;34:2660-4
81. Kao J. H., Huang C. H., Chen V., Tsai T. J., Lee S. H., Hung K. Y., Chen D. S. GB virus C infection in hemodialysis patients:molecular evidence for nosocomial transmission. *Journal of Infectious Diseases* 1999;180:191-4
82. Sampietro M., Badalamenti S., Graziani G., Como G., Buccianti G., Corbetta N., Ticozzi A., Archenti A., Lunghi G., Penso D., Pizzuti A., Fiorelli G., Ponticelli C. Hepatitis G virus infection in hemodialysis patients. *Kidney International* 1997;51:348-52.
83. Forns X., Llama P.F., Costa J., Lopez-Labrador F. X., Ampurdanes S., Olmedo E., Saiz J. C., Guilera M., Lopez-Pedret J., Sanchez-Tapia J. M., Darnell A., Jimenez de Anta M. T., Ordinas A., Rodes J. Hepatitis G virus infection in haemodialysis unit: prevalence and clinical implications. *Nephrology, Dialysis, Transplantation* 1997;12:956-60
84. Szabo A., Viazov S., Heemann U., Kribben A., Philipp T., Roggendorf M. GBV-C /HGV infection in renal dialysis and transplant patients. *Nephrology, Dialysis, Transplantation* 1997 ;12:2380-4.
85. deLamballerie X., Charrel R. N., Dussol B. Hepatitis GB virus C in patients on hemodialysis. *New England Journal of Medicine* 1996;334:1549
86. Dussol B., Charrel R., Lamballerie X., Berthezene P., Brunet P., De Micco P., Raoult D., Bertrand Y. Prevalence of hepatitis G virus infection in kidney transplant recipients. *Transplantation* 1997; 64:537-9.
87. Stark K., Meyer C. G., Tacke M., Schwarz A., Braun C., Huzly D., Angel A. M., May J., Bienzle U. Hepatitis G virus RNA and hepatitis G virus antibodies in renal transplant recipients. *Transplantation* 1997;64:608-12.
88. Erensoy S., Zeytinoglu A., Göksel S., Özcar T., Özkahya M., Türkoğlu S., Bilgiç A. Renal transplant olgularında hepatit G virus infeksiyonu ve genotipleri. Birinci Ulusal ve Tanışsal Mikrobiyoloji Kongresi, 2000 Kapadokya. Özeti Kitabı 31 (A13)

89. Fishler B., Lara C., Chen M., Sönnberg A., Nemeth A., Sällberg M. Genetic evidence for mother-to-infant transmission of hepatitis G virus. *Journal of Infectious Diseases* 1997;176:281-5
90. Lin H. H., Kao J. H., Yeh K. Y., Liu D. P., Chang M. H., Chen P. J., Chen D. S. Mother-to-infant transmission of GB virus C / hepatitis G virus: the role of high-titered maternal viremia and mode of delivery. *Journal of Infectious Diseases* 1998;177:1202-6
91. Zuin G., Saccani B., Giacomo S. D., Tanzi E., Zanetti A. R., Principi N. Outcome of mother to infant acquired GBV-C / HGV infection. *Archives of Disease in Childhood. Fetal and Neonatal Edition* 1999;80:72-3
92. Lin H. H., Kao J. H., Chen P. J., Chen D. S. Mechanism of vertical transmission of hepatitis G. *Lancet* 1996;347:1116
93. Menéndez C., Sanchez-Tapias J-M., Alonso P., Barcons M. G., Kahigwa E., Aponte J-J., Mshinda H., Navia M-M., Jimenez deAnta M-T., Rodés and Saiz J-C. Molecular evidence of mother-to-infant transmission of hepatitis G virus among women without known risk factors for parenteral infections. *Journal of Clinical Microbiology* 1999;37:2333-36
94. Feucht H-H., Zöllner B., Polywka S. Vertical transmission of hepatitis G. *Lancet* 1996;347:615
95. Tanaka E., Alter H. J., Nakatsuji Y., Shih J. W. K., Kim J. P., Matsumoto A., Kobayashi M., Kiyosawa K. Effect of hepatitis G virus infection on chronic hepatitis C. *Annals of Internal Medicine* 1996;125:740-3
96. Şengül A., Uyanık U., İnal A., Orkunoğlu F. E. Hemodiyaliz hastalarında HGV sıklığının "reverse transcriptase polimerase chain reaction" (RT-PCR) yöntemi ile araştırılması. Birinci Ulusal ve Tanısal Mikrobiyoloji Kongresi, 2000 Kapadokya. Özeti Kitabı 32 (A14)
97. Andreoli T., Carpenter C. C. J., Plum F., Smith L. H. Kronik böbrek yetmezliği. "Cecil Essentials of Medicine" Sayfa 315, 2. Baskı, Yüce Yayımları, İstanbul-1990
98. Beltrami E. M., Williams I. T., Shapiro C. N., Chamberland M. E. Risk and management of blood-borne infections in health care workers. *Clinical Microbiology Reviews* 2000;13:385-407

99. Fatma Bacaksız. Hemeodializ hastalarında hepatitis C virus (HCV) infeksiyonunun cDNA polimeraz zincir tepkimesi ile gösterilmesi ve HCV genotiplerinin belirlenmesi. 1998, Dokuz Eylül Üniversitesi Tıp Fakültesi Uzmanlık Tezi
100. Abacioglu Y. H., Bacaksız F., Bahar İ. H., Simmonds P. Molecular evidence of nosocomial transmission of hepatitis C virus in haemodialysis unit. European Journal of Clinical Microbiology and Infectious Diseases 2000;19:182-6
101. Chomczynski P., Sacchi N. Single-step method of RNA isolation by acid guanidium thiocyanate-phenol-chloroform extraction. Analytical Biochemistry 1987;162:156-9
102. Pujol F. H., Ponce J. G., Lema M. G., Capriles F., Devesa M., Sirit F., Salazar M., Vasquez G., Monsalve F., Blitz-Dorfman L. High incidence of hepatitis C virus infection in hemodialysis patients in unit with high prevalence. Journal of Clinical Microbiology 1996;34:1633-36
103. Kwok S., Higoshi R. Avoiding false positives with PCR. Nature 1989;339:237-8